

# LHD高ベータ放電における MHD平衡特性とその物理課題

大学共同利用機関  
自然科学研究機構 核融合科学研究所

渡邊 清政  
エネルギー理工学研究所 非常勤講師

# LHDにおけるMHD平衡研究の意義

1. 核融合炉に必要な高ベータ運転で実効的な磁気面が存在することを検証する必要がある。  
3次元プラズマでは、厳密な意味の磁気面の存在が明らかでないから(真空では、厳密解なし)。
2. MHD平衡を高精度で同定する手法を確立する必要がある。  
MHD平衡配位はあらゆるプラズマ特性(MHD安定性、輸送特性等)に影響を与える。

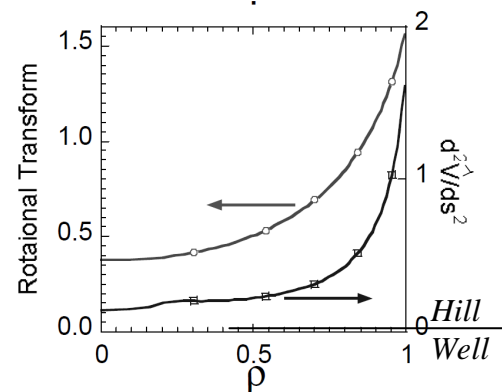
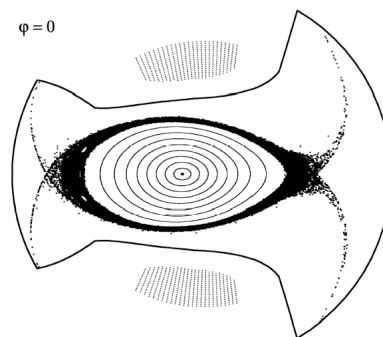
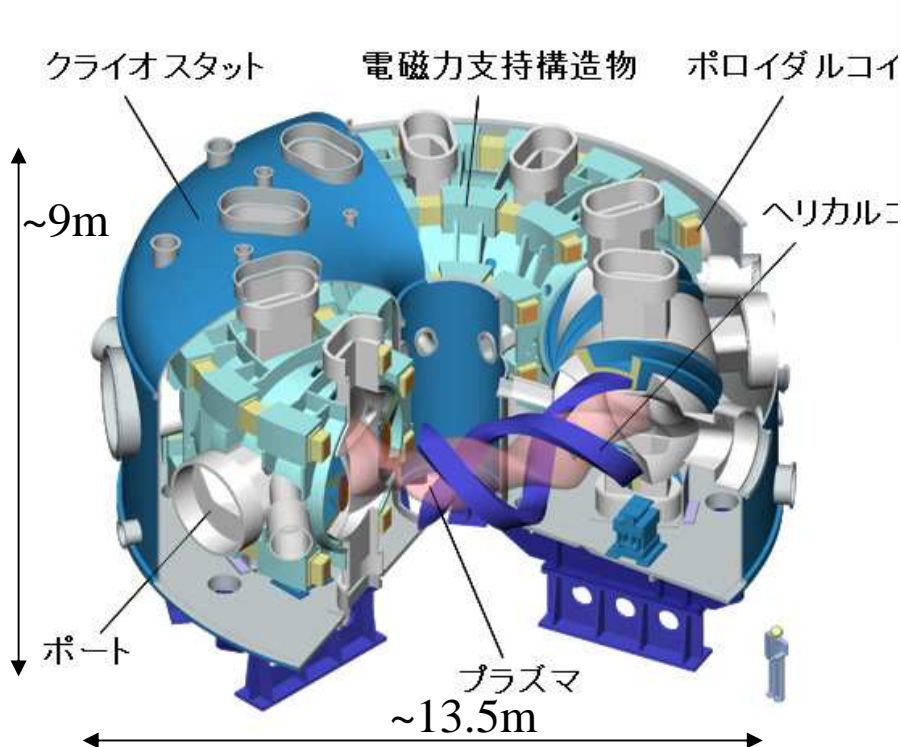
# 内容

---

1. 実効的な磁気面が存在すること検証
  - (1) MHD平衡ベータ限界について  
(HINTコードに基づく理論予測)
  - (2) HINTの予測と実験結果の比較
  
2. LHDにおけるMHD平衡同定に関する課題
  - (1) ビーム圧力の影響
  - (2) トロイダル電流の影響



# 大型ヘリカル装置(LHD)の装置の特徴



- # 磁気面形状は、楕円。これがトロイダル方向に進むにつれて回転。
- # 磁気シアは中心で小さく、周辺で強い。
- # 典型的な真空配位では全領域磁気丘。

磁気丘の大きさ  $\propto d\Omega/dr$

$$\Omega \approx \left\langle \int d\phi \left( \left( \frac{R}{R_0} - 1 \right)^2 + \left( \frac{B}{B_0} - 1 \right)^2 \right) \right\rangle$$

$\sim \sqrt{2} \pi$

# 連続コイルによるヘリカル型装置(L=2/M=10)

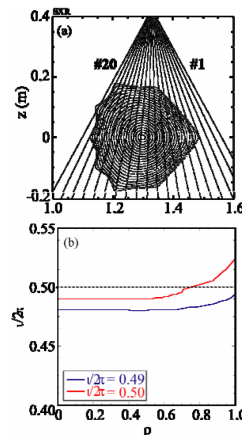
プラズマ主半径: 3.42-4.1m

プラズマ小半径: 0.6m

プラズマ体積: 30m<sup>3</sup>

磁場強度: 3テスラ(最大)

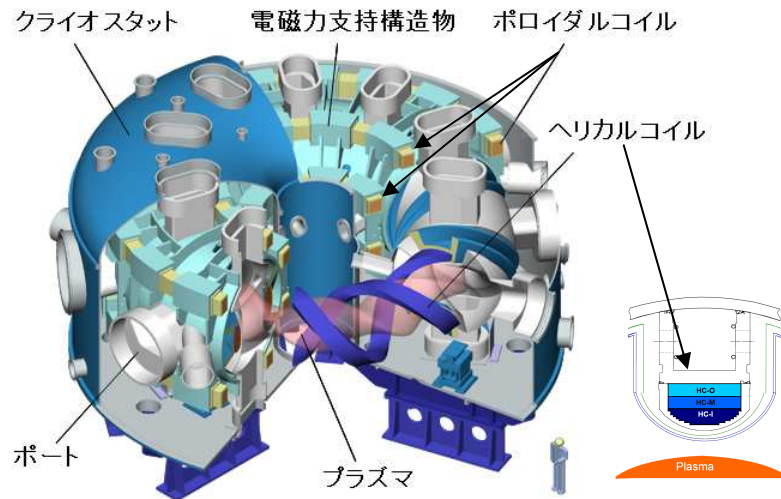
# 1998年3月実験開始



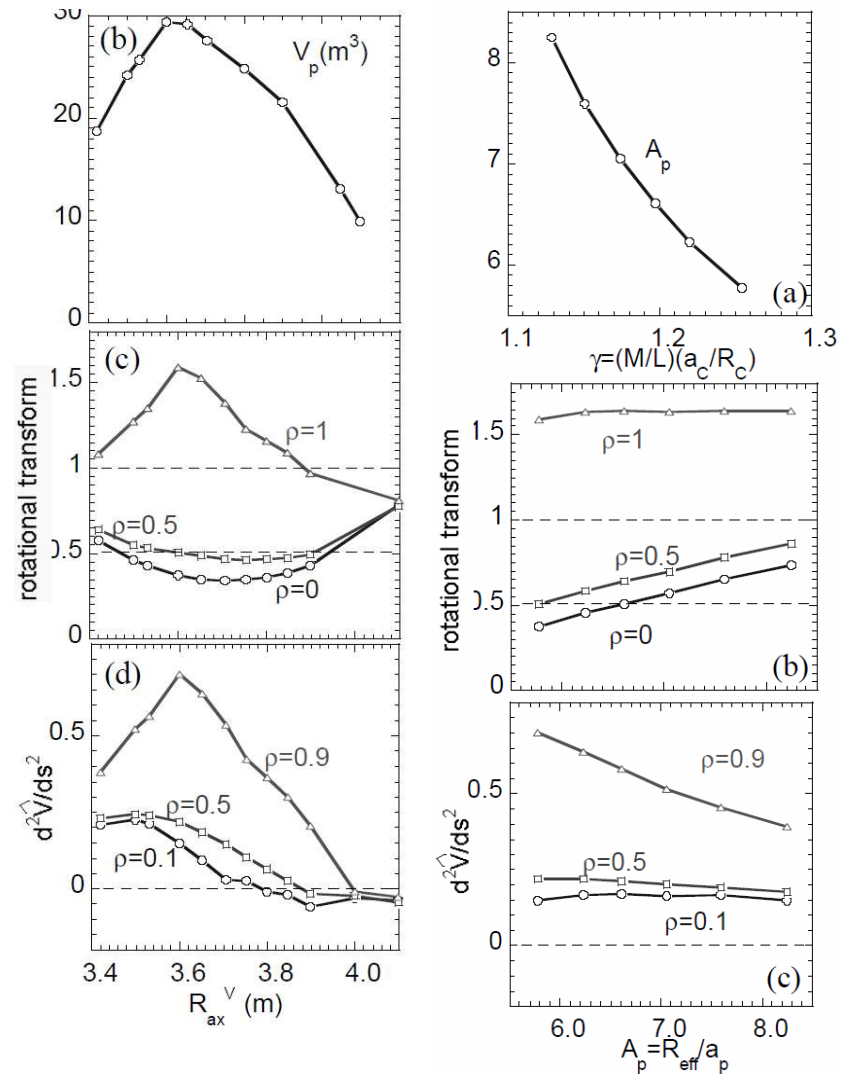
**Heliotron-J**

大半径 1.2m  
 小半径 ~0.2m  
 磁場強度 1.5T  
 L=1/M=4

# 大型ヘリカル装置(LHD)の装置の特徴 II



**主な配位制御パラメータ**  
 # 垂直磁場(磁気軸トラス大半径)  
 => 最外殻と磁気軸の相対位置、  
 ヘリカルコイルとプラズマの距離  
 => 磁気丘(井戸)、体積、磁気シア  
 # 4重極磁場 => 楕円度  
 # コイルピッチ ( $\gamma \propto a_c/R_c$ )  
 =>  $A_p$ ,  $1/2\pi$  (磁気シア)、磁気丘(井戸)

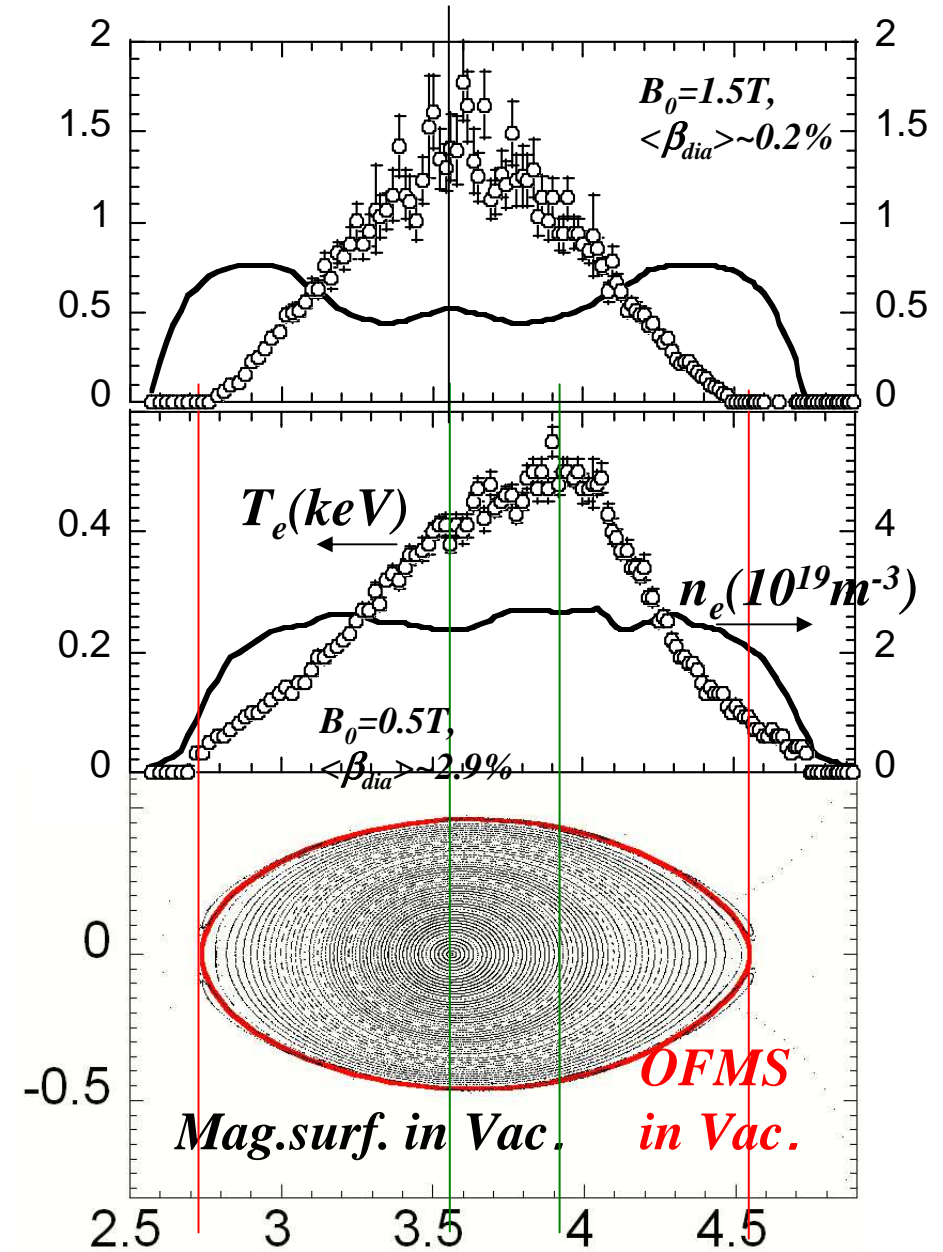


楕円度、 $1/2\pi$  (磁気シア) => 有限ベータ時の磁気軸シフト => 有限ベータ時の磁気井戸形成

# 有限ベータの効果

- ベータの上昇につれて磁気面がトーラス外側にシフト(シャフラノフシフト)  
Pfirsch-Shulter電流(平衡電流)の双極成分が垂直磁場を形成
- 周辺磁気面の破壊  
軸対称磁場成分によっても磁気面は破壊されるが、Pfirsch-Shulter電流の非軸対称成分は磁気面破壊を助長

LHD3.6m/ $B_q$ 100%/ $\gamma$ 1.254  
 $B_0=0.5\sim 1.5T$





## Boundary condition of HINT code

The pressure on the field lines connected with a wall before toroidally 1 turn is zero.

# Pressures tend to be constant along the same magnetic field line .

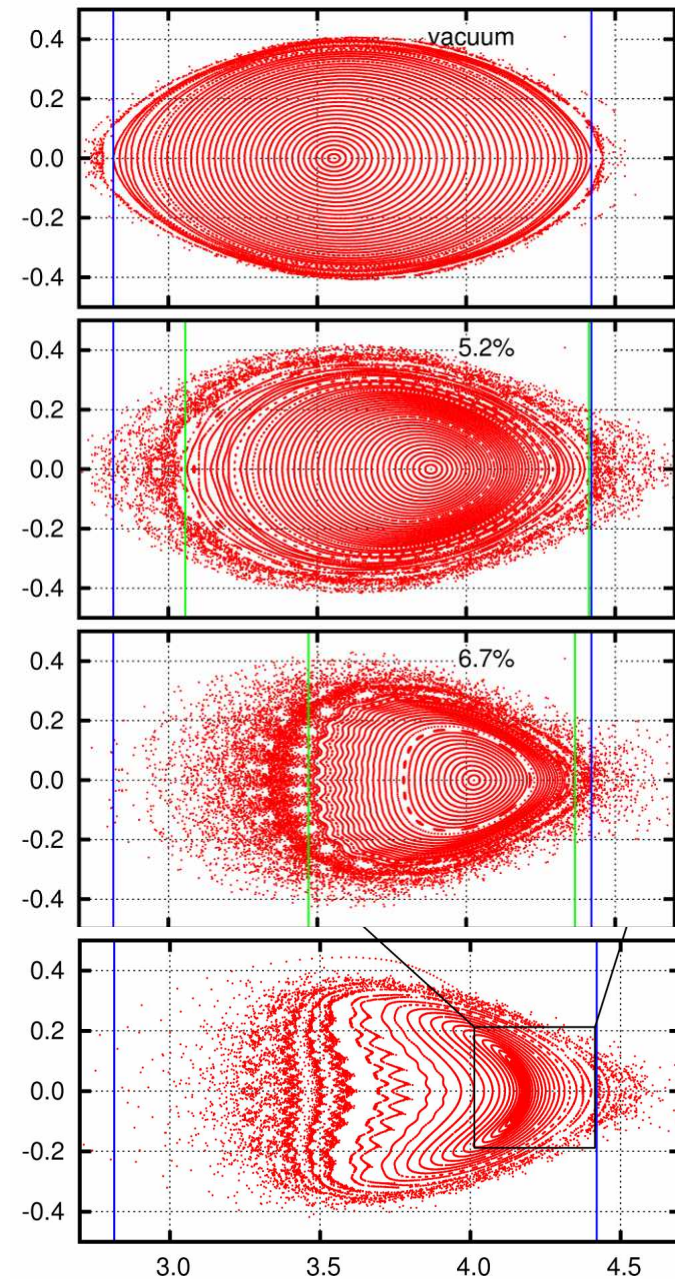
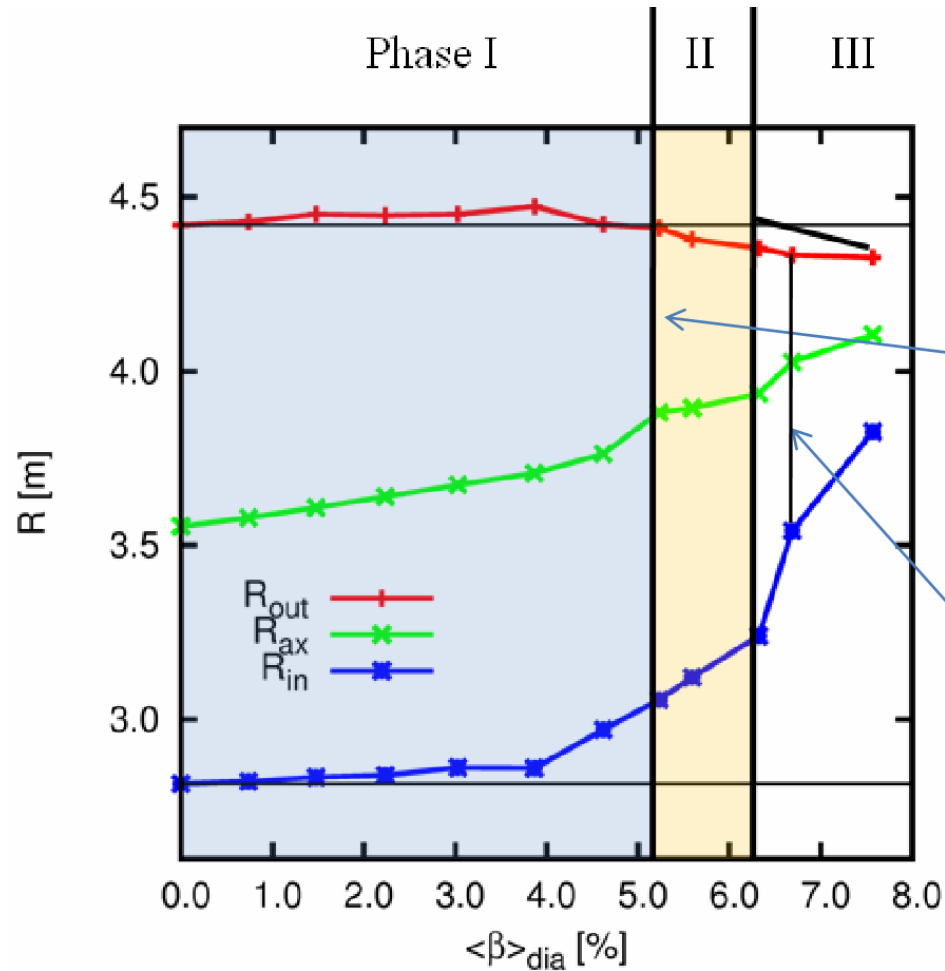
$$\begin{array}{l} \text{(A) pressure} \\ \text{relaxation:} \end{array} \quad p \Rightarrow \bar{p} = \frac{\oint \frac{dl}{B} p}{\oint \frac{dl}{B}} \quad \left| \quad \rightarrow \mathbf{B} \cdot \nabla p = 0$$

*HINT algorithm*

$$\begin{array}{l} \text{(B) relaxation of} \\ \text{magnetic field:} \end{array} \quad \frac{\partial \rho V}{\partial t} = -\nabla p + \mathbf{j} \times \mathbf{B}$$
$$\frac{\partial \mathbf{B}}{\partial t} = \nabla \times \left[ \mathbf{V} \times \mathbf{B} - \eta (\mathbf{j} - \mathbf{j}_{\parallel \text{net}}) \right]$$

# 平衡限界について(3.6m/g1.20配位)

IAEA2008, Y.Suzuki et al.



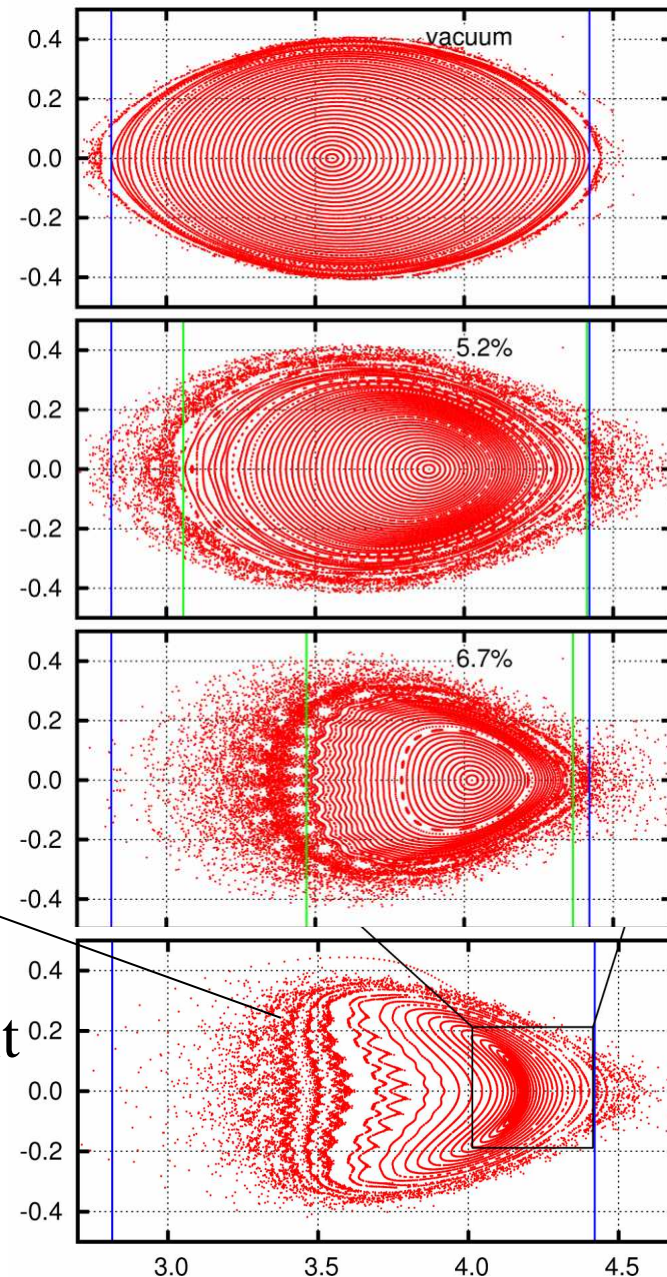
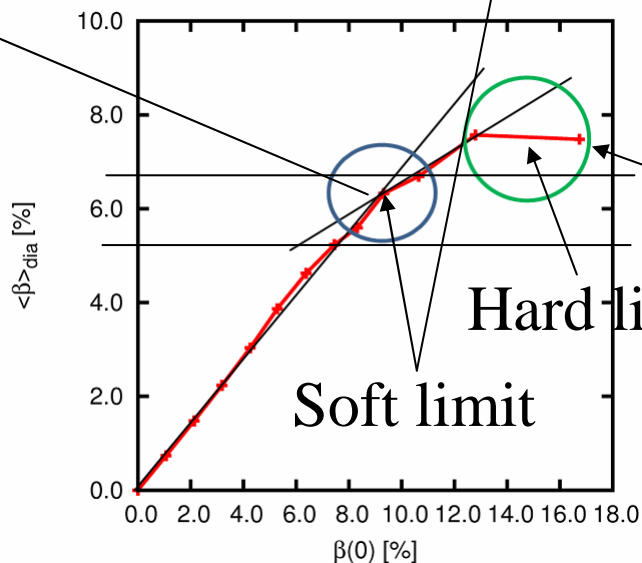
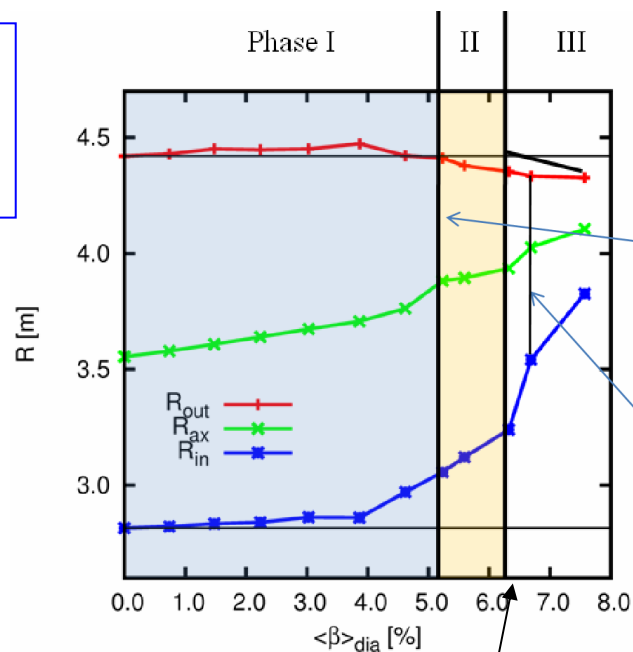
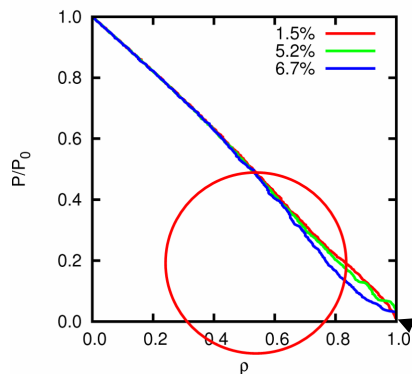


# 平衡限界について(3.6m/g1.20配位)

IAEA2008, Y.Suzuki et al.

## Hard limit

磁気軸が8の字状に分離するベータ値

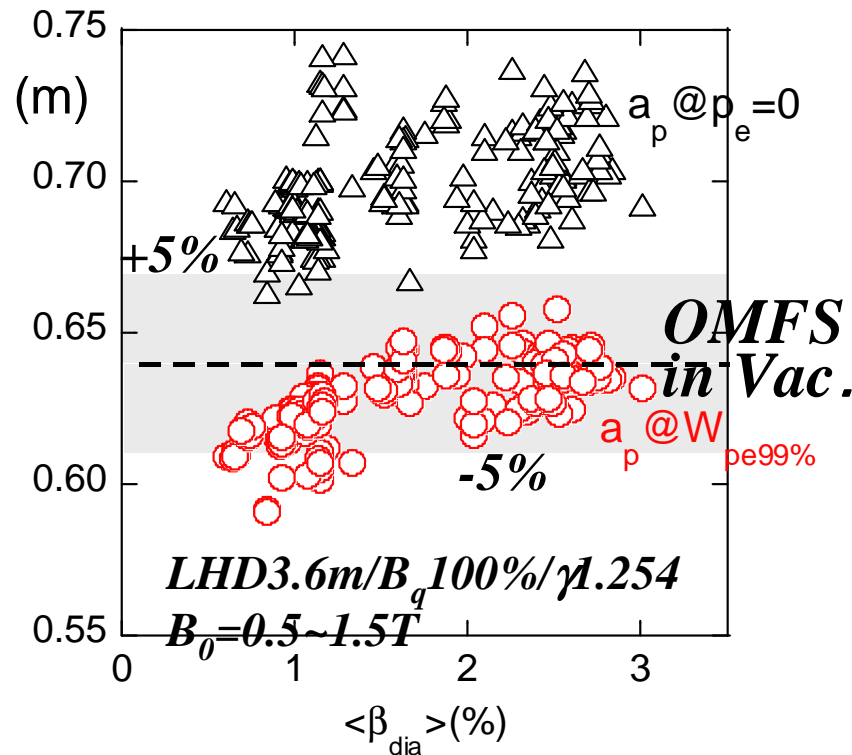


## Soft limit

周辺付近の磁気面の乱れが大きくなりすぎて、指定した圧力勾配では平衡の力の釣り合いが取れなくなるベータ値

# Change of $a_p$ due to $\beta$

*The data with similar pressure profile to  $\beta \sim (1 - \rho^2)$ .*



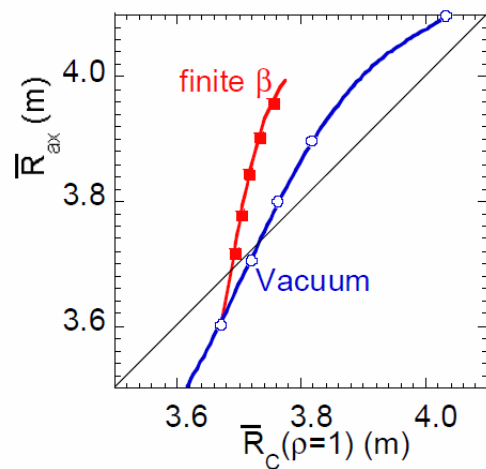
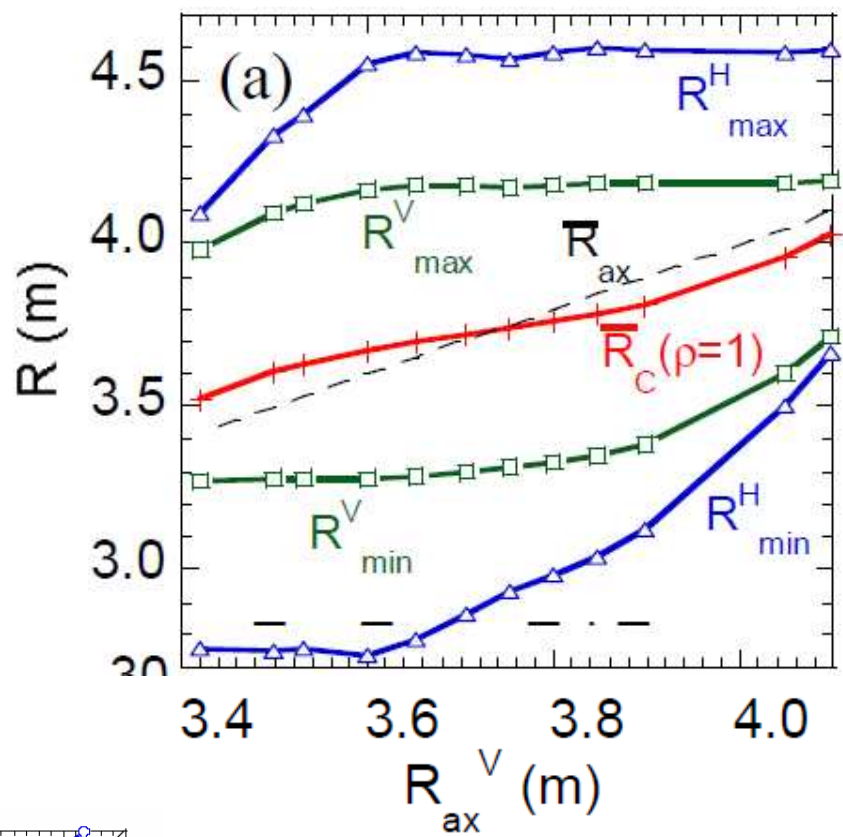
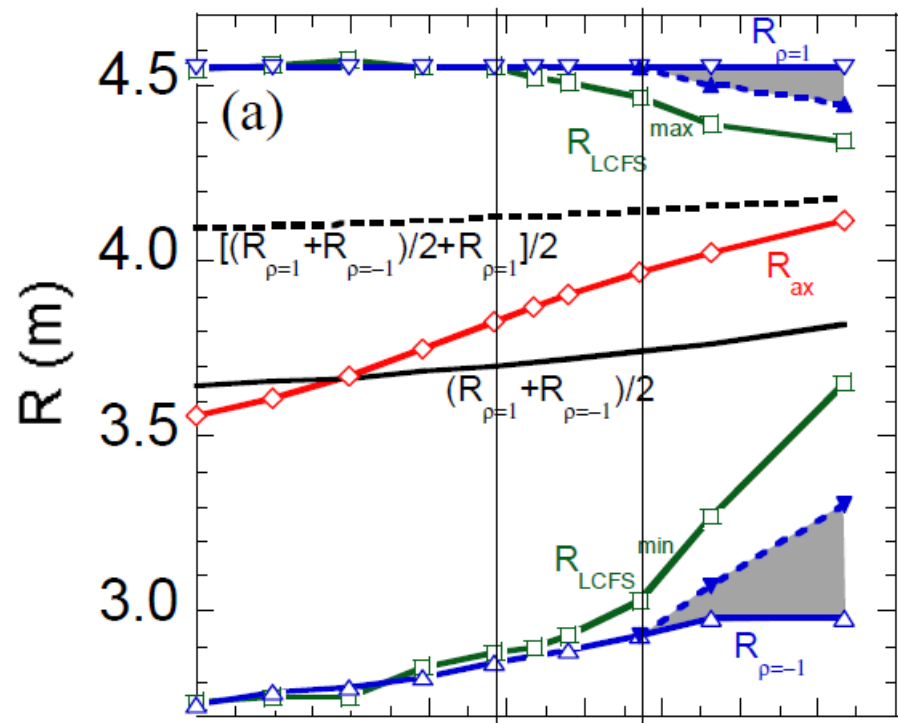
The “plasma radius” increases with beta value.

Finite pressure exists outside of the OMFS in Vac.

Both “plasma radius”s based on  $p_e=0$  and  $W_{pe}=99\%$  in  $\beta \sim 3\%$  are larger by  $\sim 10\%$  than those in low  $\beta$ .

**The change of  $a_p$  is fairly large.**  
**=> It changes  $t_E$  by  $>20\%$  in ISS95.**

*#  $a_p$  in the LHD global confinement study at present*  
*In low beta,  $a_p$  of the OMFS in Vac.*  
*In high beta,  $a_p @ W_{pe99\%}$ .*

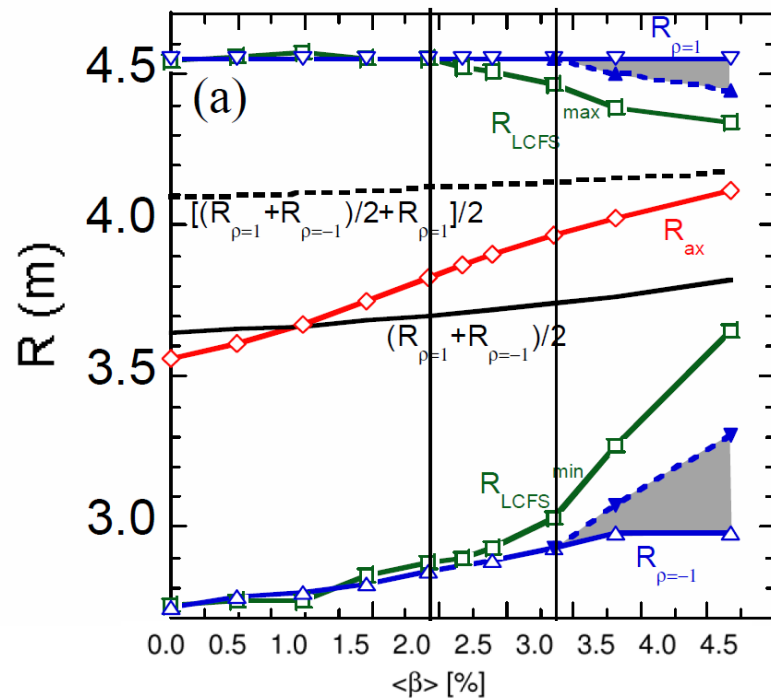




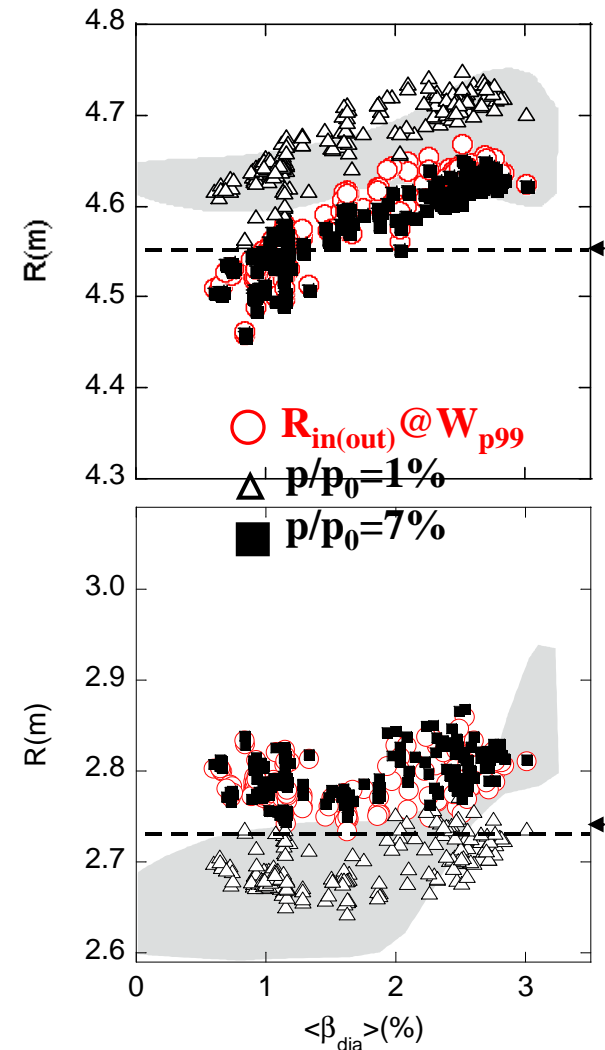
# The definition of $\rho = 1$ in LHD high beta plasmas

$\rho=1$  surf. passes the torus outboard side of LCFS of vac. at horizontally elongated cross-section/ or the torus inboard side of LCFS of vac. at vertically elongated cross-section.

pre-set  $R_{ax}=3.6\text{m}$ ,  $B_q=100\%$ ,  $\gamma=1.254$

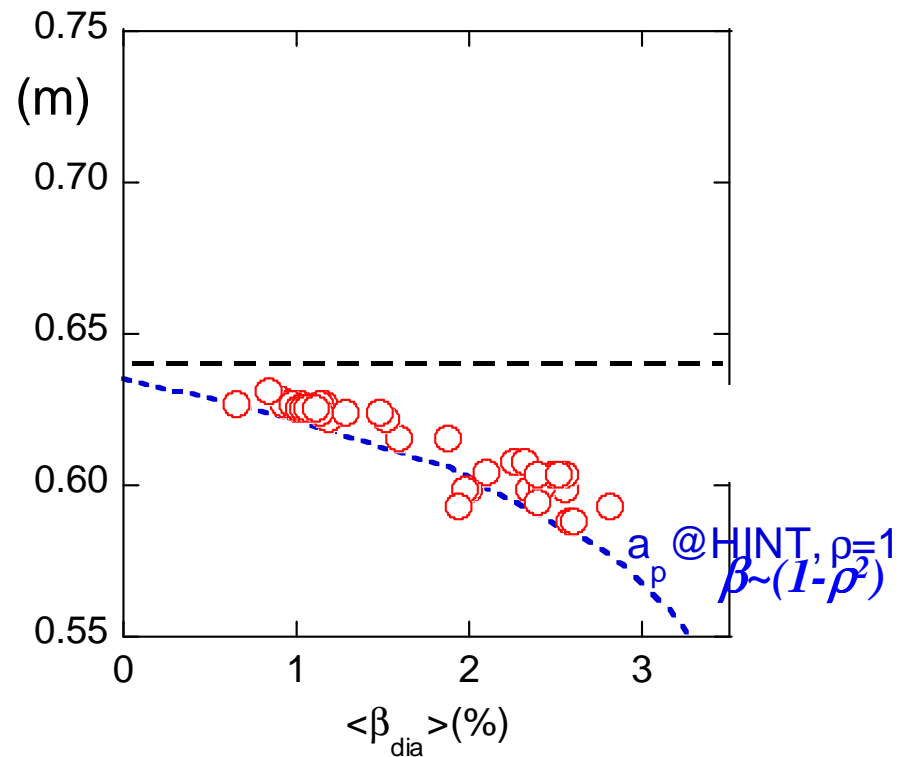
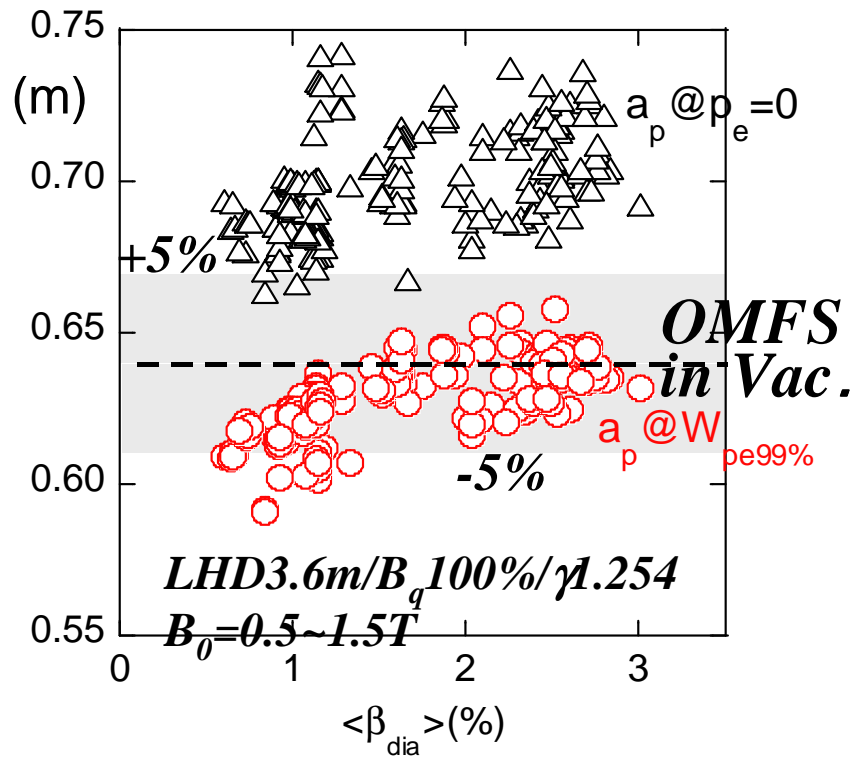


From Synopsis of IAEA2008  
by Y.Suzuki

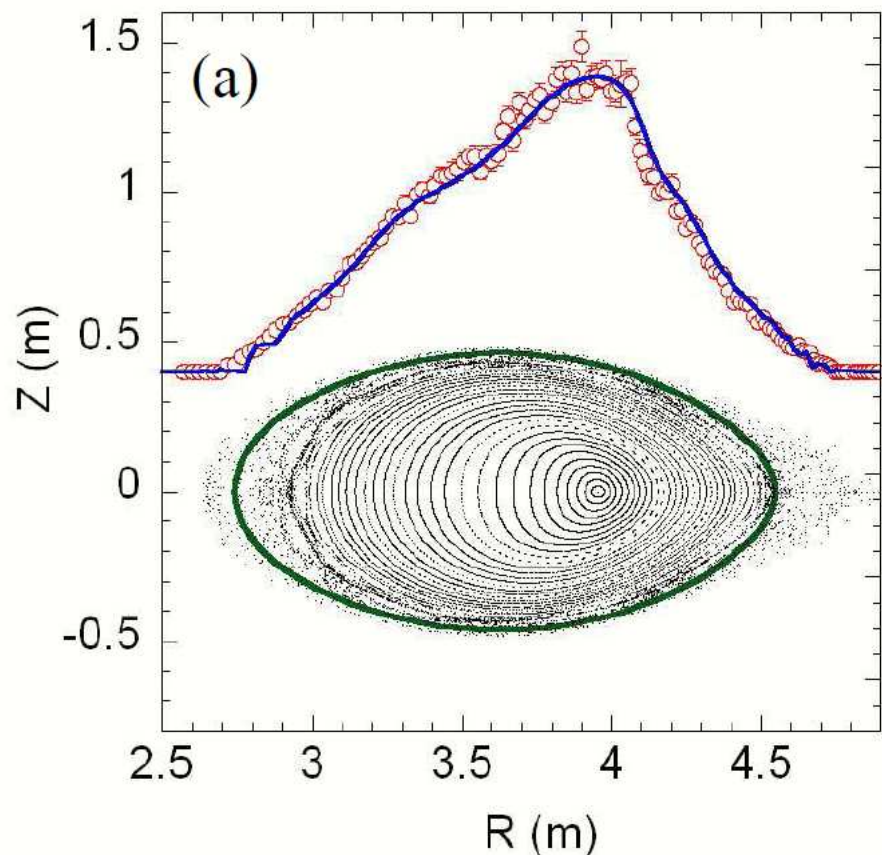


# Change of $a_p$ due to $\beta$

*The data with similar pressure profile to  $\beta \sim (1-\rho^2)$ .*

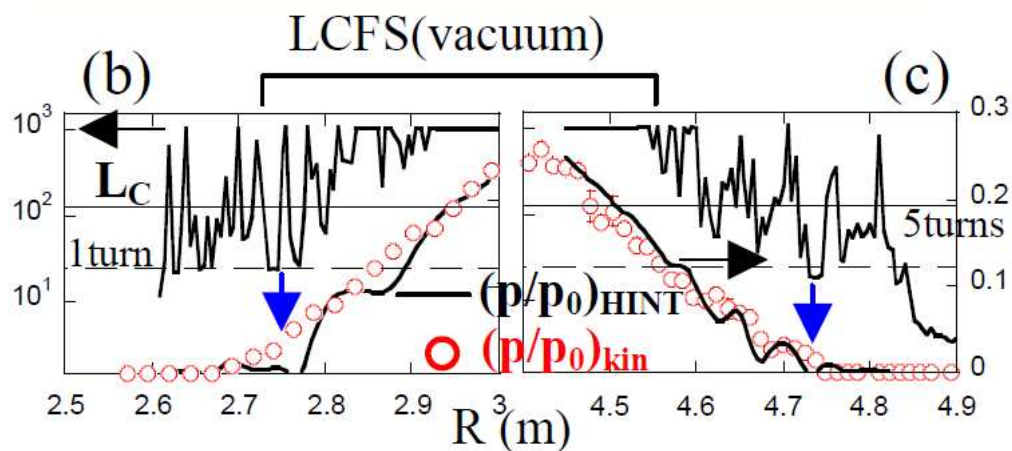


*$\rho = 1$  surf. passes the torus outboard side of LCFS of vac. at horizontally elongated cross-section.*



ある境界条件の下でのHINTコードの解析により、 $\langle \beta_{\text{dia}} \rangle \sim 2.9\%$ の放電における実験と矛盾が少ないMHD平衡配位(等温面のシフトや周辺の圧力分布)の再構築に成功した。また、理論予測と実験結果の比較から以下の結果を得た。

理論予測によると、周辺の磁気面の重心は6cm弱(小半径で規格化して9%程度)トーラス外側にシフトしていると共に、きれいに閉じた磁気面領域はトーラス内側ではほとんど変わらないが、トーラス内側でかなり減少し、真空と比較すると8%強体積が減少している。

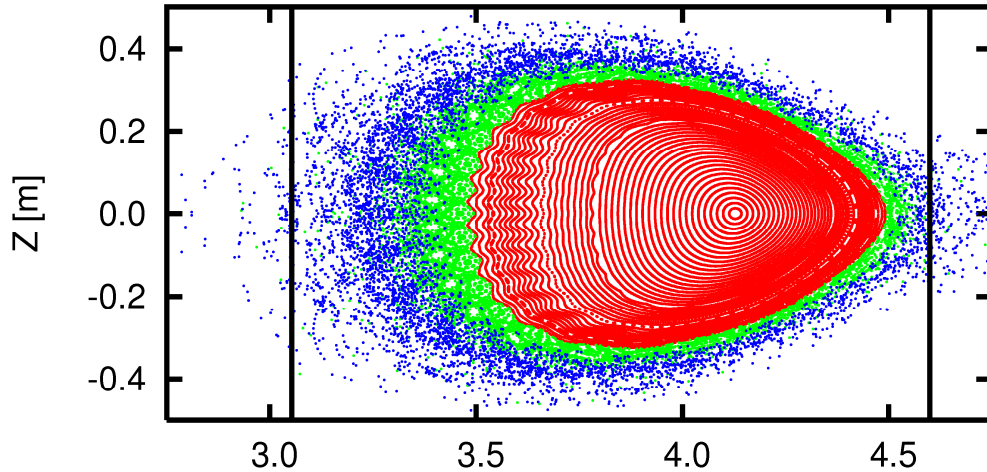




# Finite- $\beta$ equilibrium with large stochastic region $\langle\beta\rangle\sim 2.1\%$



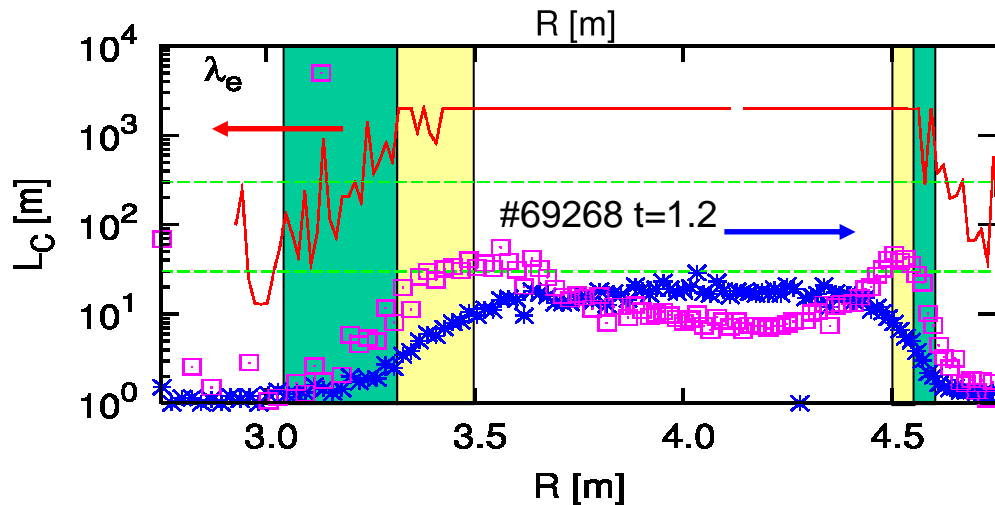
$R_{ax}=3.85, B_T=3.0, B_Q=100\%, \gamma=1.254 \langle\beta\rangle=2.1\%$



- Edge field lines are strongly ergodized.
- Field lines indicated by green do not reach to wall.
- $L_C$  of field lines with blue is short.
- $\nabla T_e$  exists in the stochastic region.
- $L_C$  is longer than  $\lambda_e$ .



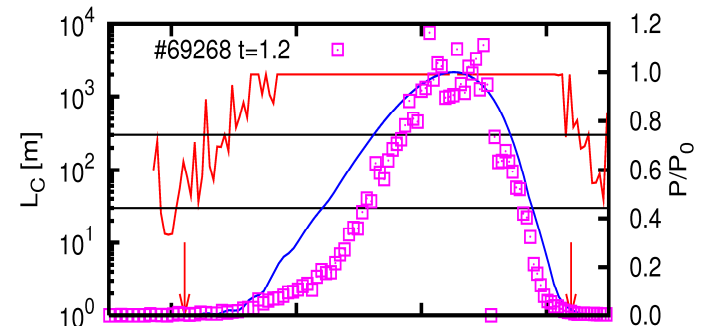
These indicate the pressure can exist on stochastic field.

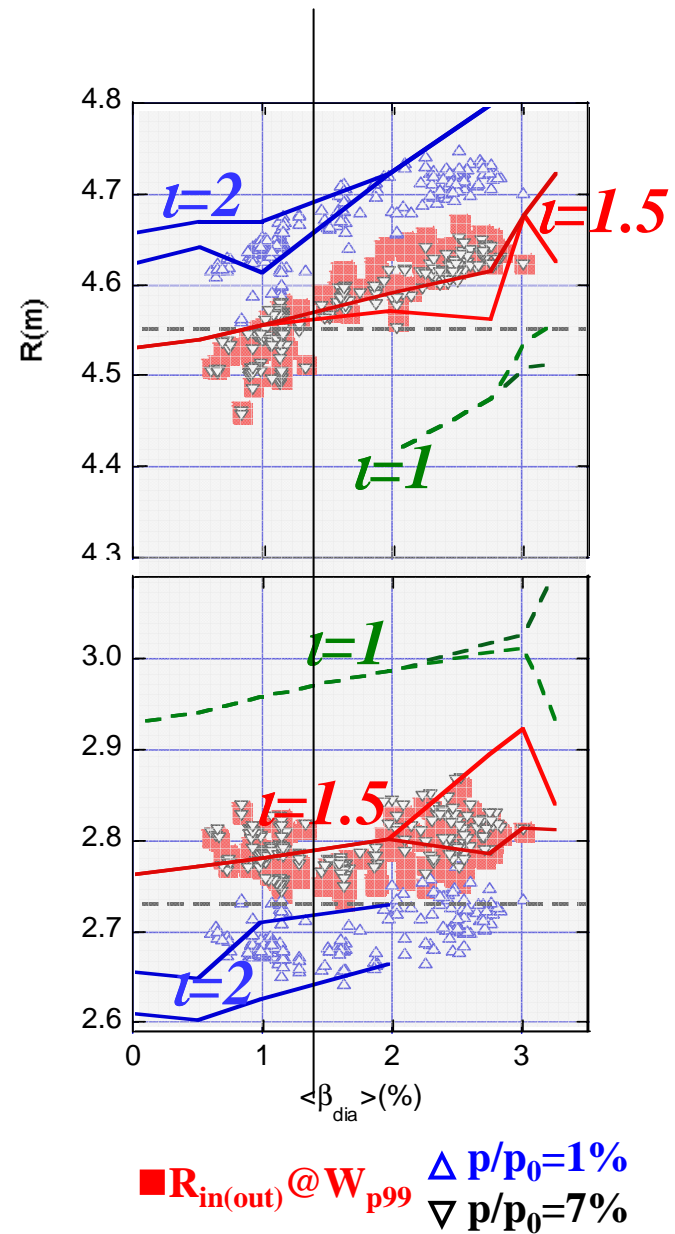
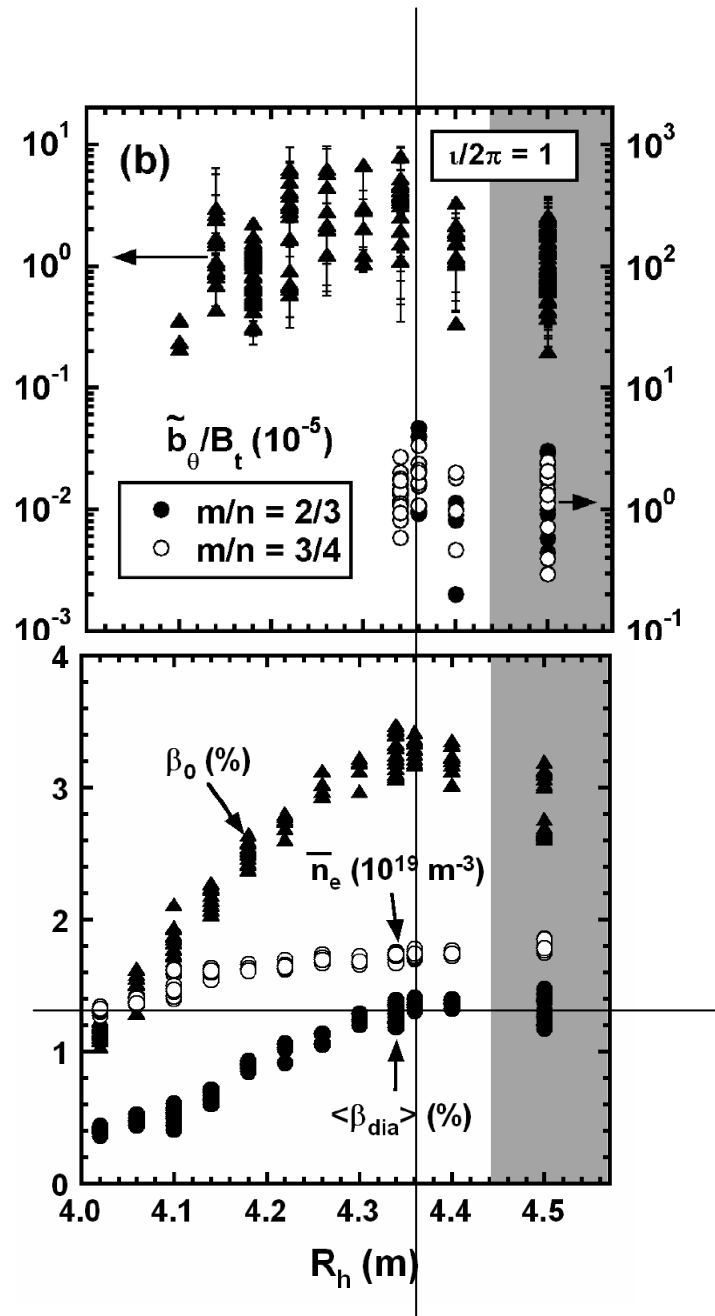


2.0

$T_e$  [keV]

Comparison of pressure profile

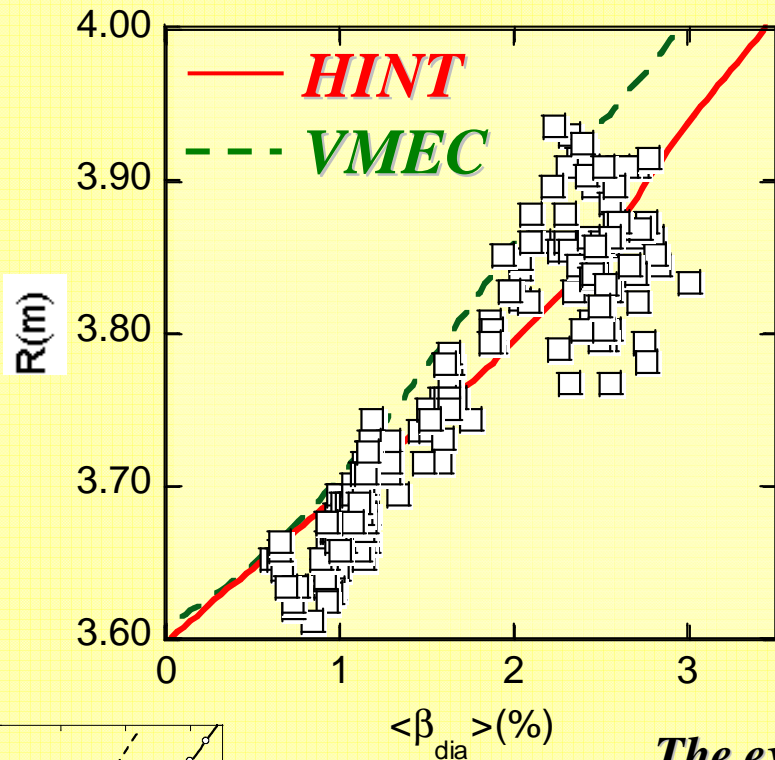




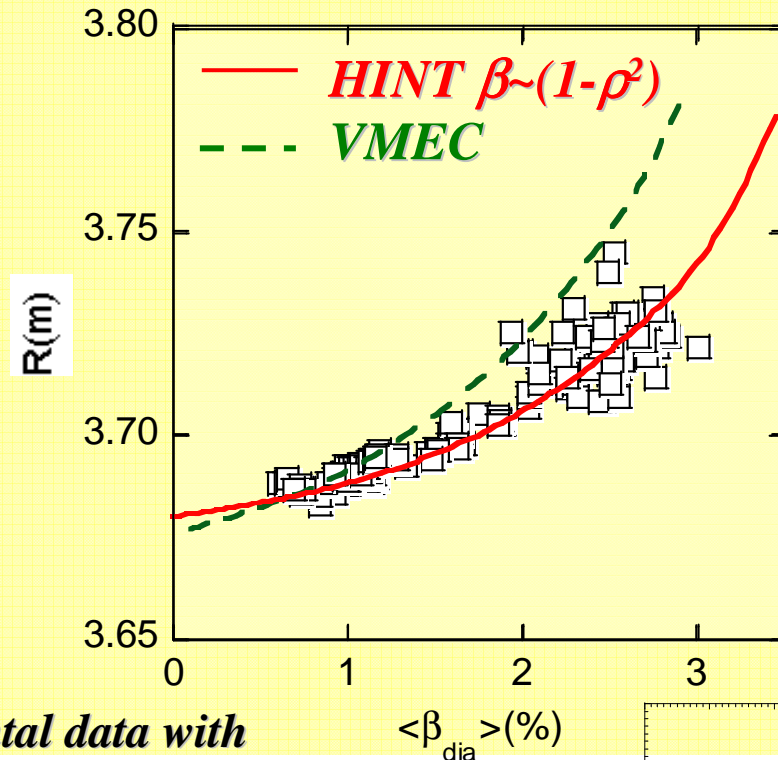
# A1. Shift of mag. axis and peripheral mag.surf. due to beta

--- Experimental results vs. prediction by HINT--- 3.6m/ $\gamma$ =1.254

## Shift of mag. axis

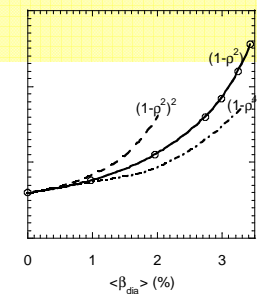
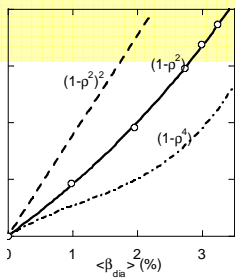


## Shift of peripheral mag.surf.



The experimental data with  $\beta \sim (1-\rho^2)$  are extracted.

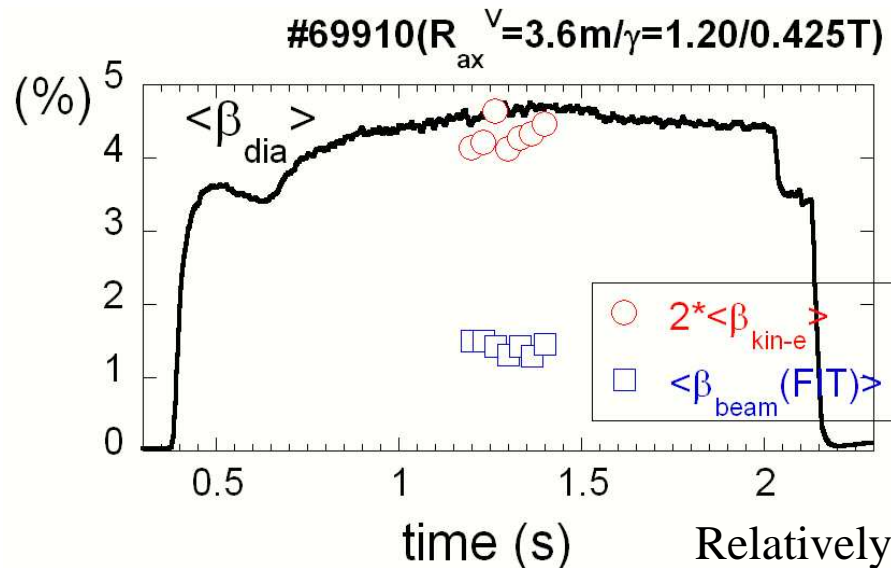
*Beta dependences of observed shift of mag.axis and peripheral mag. surf. are consistent with the prediction by HINT code.*





# 高ベータ放電で予測される高いビーム圧力

$\langle \beta_{kin} \rangle$  ; 3.6% ( $Z_{eff}=2.5$ ),  $\langle \beta_{beam} \rangle$ ; 1.5% (Cal.)



Port-through power //NBI 13.8MW

$\langle \beta_{dia} \rangle$  ; 4.8% ( $\beta_{perp} \sim 3.2$ )

$\langle \beta_{kin} \rangle$  ; 3.6% ( $Z_{eff}=2.5$ )

( $2 \times \langle \beta_{kin-e} \rangle$ ; 4.3%)

$\langle \beta_{beam} \rangle$ ; 1.5% (Cal. by FIT code)

Relatively low  $n_e$  and low  $B_0$  leads to large ratio of  $p_{beam}$

$\langle \beta_{dia} \rangle$  ; based on the diamagnetic measurement.

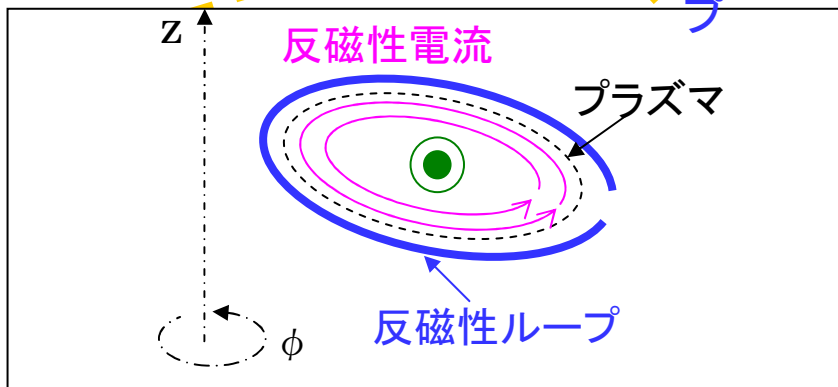
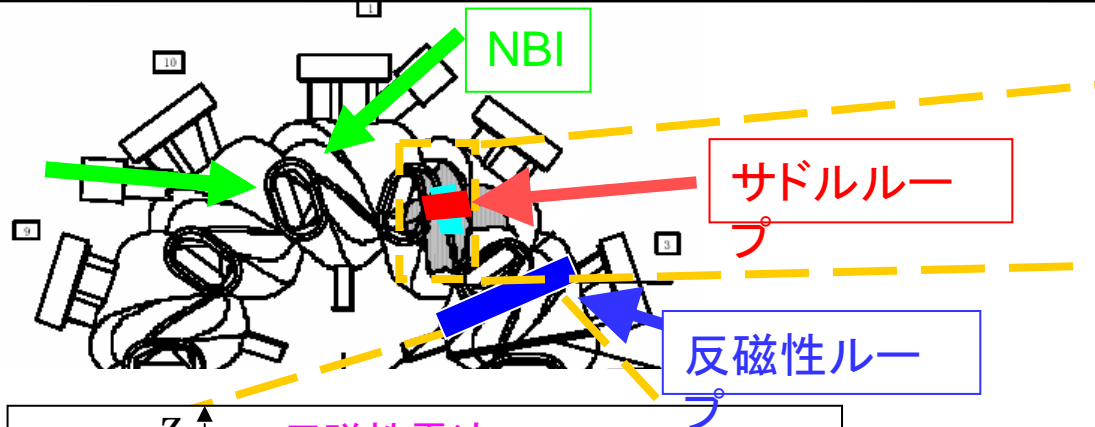
$\langle 2 \times \beta_{kin-e} \rangle$  ; based on the  $T_e$  and  $n_e$  profile measurements  $Z_{eff}=1$  and  $T_i=T_e$  are assumed.

(When  $Z_{eff}=2.5$ ,  $\langle \beta_{kin} \rangle \sim 3.6\%$  ( $\beta_{perp} \sim 2.45$ ),  $\langle \beta_{beam} \rangle_{perp} \sim 0.75\%$ ,  $\langle \beta_{beam} \rangle_{ara} \sim 0.75\%$ ; 推定値OK??)

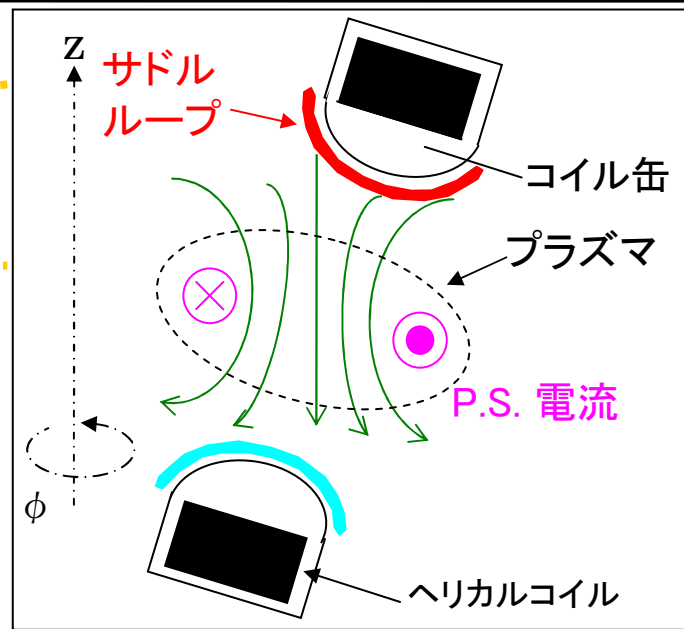
$\langle \beta_{beam} \rangle$  ; based on the calculation with Monte Carlo technique.

**ビーム圧力、非等方性の同定手法の確立**  
**MHD平衡/安定特性にビーム圧力が与える効果**

# 磁気計測器による圧力非等方度の同定(概念)

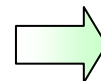


$P_{\perp}$ のみの感度



$P_{\perp}$ と $P_{\parallel}$ の両方向の感度

	計測する電流	磁束から評価するエネルギー	圧力分布の影響
反磁性磁束 ( $\Phi_{dia}$ )	反磁性電流	$\frac{3}{2}W_{\perp}$	鈍感
サドルループ磁束 ( $\Phi_{SL}$ )	P.S.電流	$W_{\parallel} + \frac{2}{2}W_{\perp}$	敏感



“2種類のループ磁束の比”により圧力非等方度を同定

# 磁気計測器による圧力非等方度の同定(手法)

## 1. 非等方圧力を考慮したMHD平衡解析コードに基づく磁気計測信号値の較正

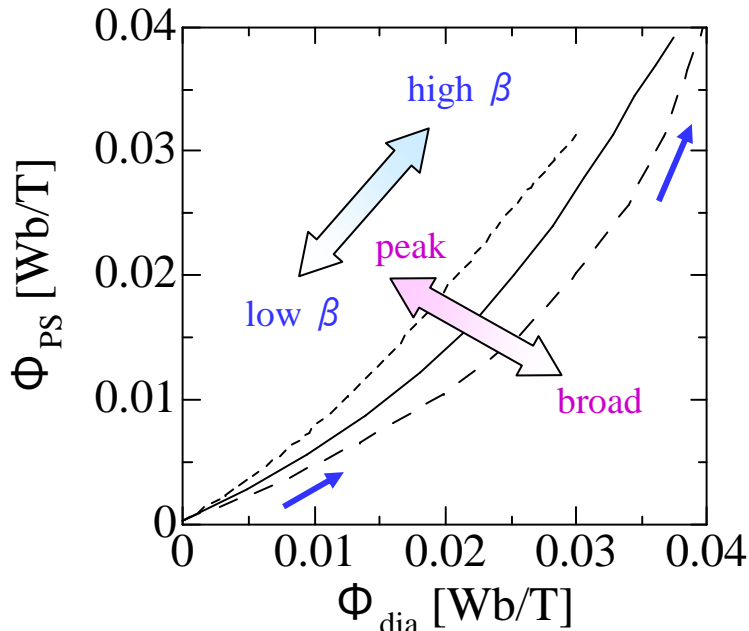
# ANIMEC(自由境界版VMECの非等方圧力への対応;  
W.A.Cooper et al., Comp. Phys. Commun. 180 (2009) 1524-1533  
=> LHD実験計測との比較予定(2010~)  
# HINTコードの非等方圧力対応への拡張; 構想段階

## 2. 数値計算で実験の圧力非等方度を予測し、 圧力非等方度と磁気計測信号の関係式を半 実験的に取得(磁気計測信号値を較正)

Y.Yamaguchi et al.,; Nucl. Fusion 45 (2005) L33.

# 磁気計測器信号からの“圧力非等方度指標”の抽出

$\Phi_{PS}/\Phi_{dia}$  から圧力非等方度を精度良く評価するためには、 $\Phi_{PS}/\Phi_{dia}$  に含まれる“圧力非等方度に関係ない情報”を差し引く必要がある



等方圧力を仮定した平衡計算の結果

圧力非等方度が変わらない(等方)の場合でも

- ・正味の熱化圧力によって  $\Phi_{PS}/\Phi_{dia}$  が変化
- ・圧力分布によって  $\Phi_{PS}/\Phi_{dia}$  が変化



圧力非等方度以外の要因(正味熱化圧力, 圧力分布)によって変化しない“圧力非等方度指標”を抽出する必要がある

## ＜圧力非等方度指標の抽出方法＞

- $\Phi_{PSexp}$  : サドルループの実験データ
- $\Phi_{PSiso}$  : 等方圧力を仮定した平衡計算によるサドルループの計算値
  - 正味圧力は計測された  $\Phi_{dia}$  と一致するように入力
  - $T_e, n_e$  計測による圧力分布を入力



**$\Phi_{PSexp}/\Phi_{PSiso}$  : 圧力非等方度指標**

- ・  $\Phi_{PS}/\Phi_{dia}$  の情報を含んでいる  
分子  $\sim p_{\parallel} + p_{\perp}$ , 分母  $\sim p_{\perp}$
- ・ 正味の熱化圧力によって変化しない
- ・ 圧力分布によって変化しない



# ビームエネルギーを含んだ数値計算

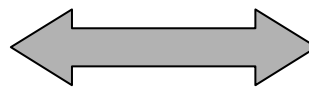
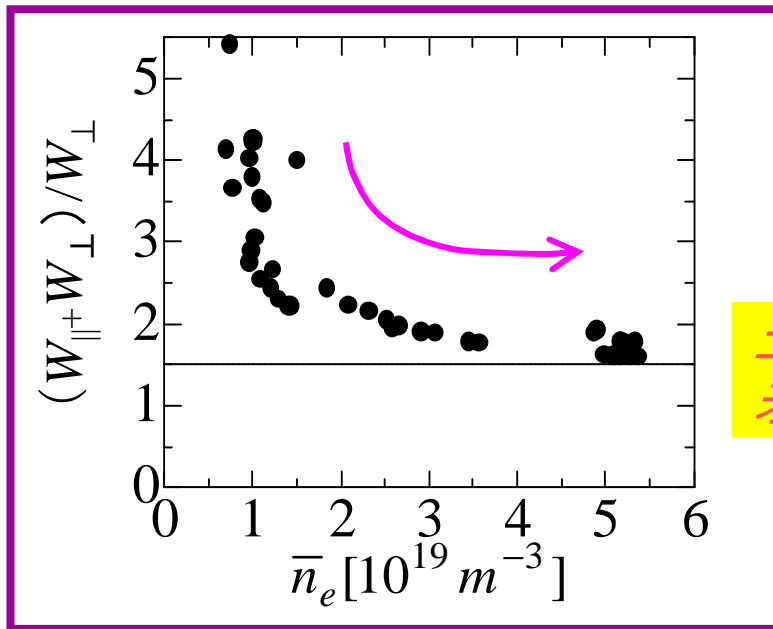
FITコード ※:

NBIにより生成される高速粒子の空間分布 (birth profile) を、モンテカルロシミュレーションにより計算  
 →フォッカープランク方程式の定常解から、減衰後のビーム圧力を計算

※ S. Murakami, N. Nakajima, M. Okamoto, Trans. Fusion Technol., 27, (1995) 256.

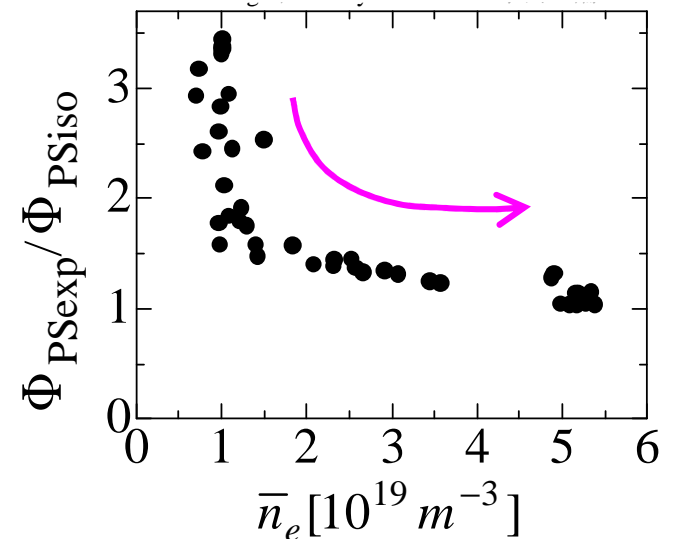
・FIT code →  $W_{beam\parallel}, W_{beam\perp}$   
 ・ $W_{dia}$  and FIT code →  $W_{thermal}$   
 ( $W_{dia} = W_{thermal} + (3/2)W_{beam\perp}$ )

$$\longrightarrow \begin{cases} W_{\parallel} = (1/3)W_{thermal} + W_{beam\parallel} \\ W_{\perp} = (2/3)W_{thermal} + W_{beam\perp} \end{cases}$$



エネルギー計算と  
矛盾しない!

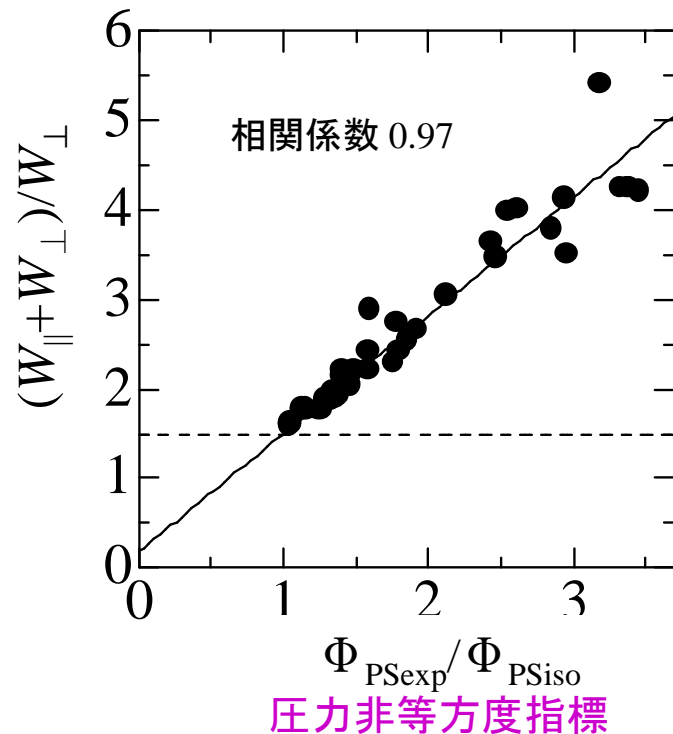
圧力非等方度指標



磁気計測器

ビームエネルギーを含んだ数値計算

# 磁気計測による圧力非等方度の定量評価



相関が高い

=>

モデル(圧力非等方度指標の利用とビーム圧力計算)の妥当性を補強

$R_{ax}=3.6\text{m}$ ,  $\gamma=1.254$ ,  $B_t=0.5, 0.75$  and  $1.5\text{T}$ ,  
 $\langle \beta_{dia} \rangle = 1 \sim 2\%$ .

磁気計測データから抽出した“圧力非等方度指標”とビーム圧力計算より圧力非等方度の定量評価を実現

$$\Rightarrow (W_{//} + W_{\perp}) / W_{\perp} = 0.2 + 1.3(\Phi_{PSexp} / \Phi_{PSiso})$$

# 実空間軌道追跡モンテカルロコードによるビーム圧力の評価

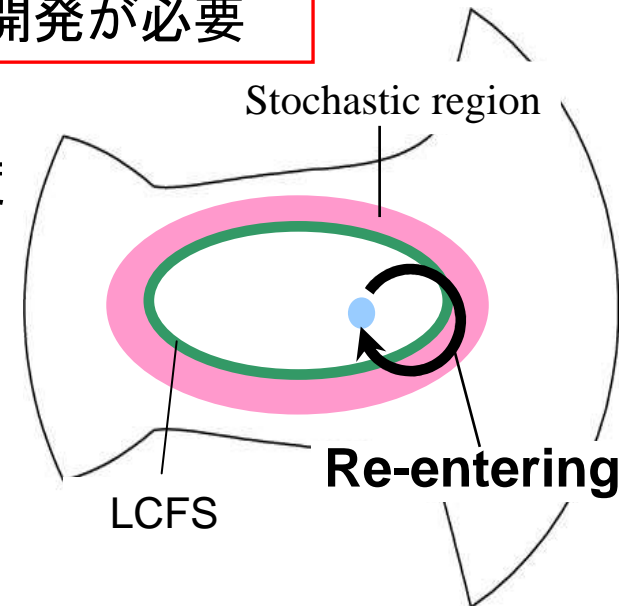
## 大型ヘリカル装置(LHD)

高ベータ実験(低磁場 $B_{ax} = 0.5$  T)  $\Rightarrow$  中性粒子ビーム(NB)入射による加熱

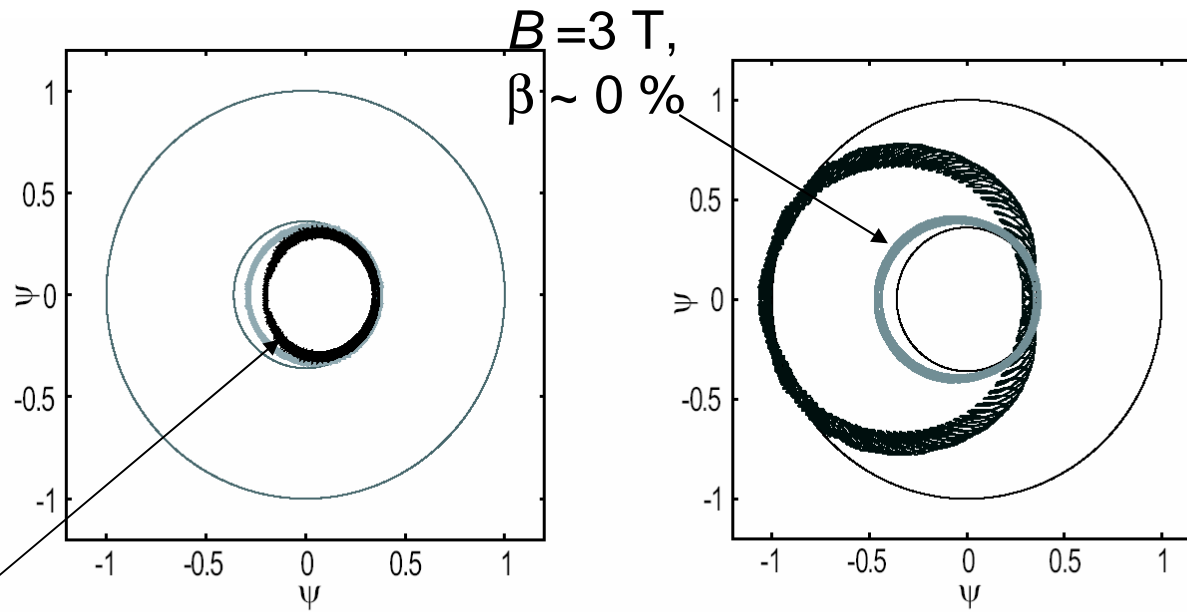
NBIに起因するプラズマ圧力(ビーム圧力)の同定が高ベータプラズマでの平衡, 安定性解析において必要  
 $\Rightarrow$  低磁場では、磁気面からの軌道のズレ大  
 $\Rightarrow$  最外殻を越えて運動する粒子の考慮が必要  
 $\Rightarrow$  実座標での軌道追跡、モンテカルロコードの開発が必要

有限ベータでの高エネルギー粒子の軌道、速度分布関数の解析の主流は、磁気座標を利用  
 $\Rightarrow$  Re-entering粒子は損失粒子

真空でのヘリオトロン磁場での実座標での軌道追跡コードをHINTの平衡磁場を使えるように拡張、速度分布関数評価機能を付加(北大 関さん、松本さん等)

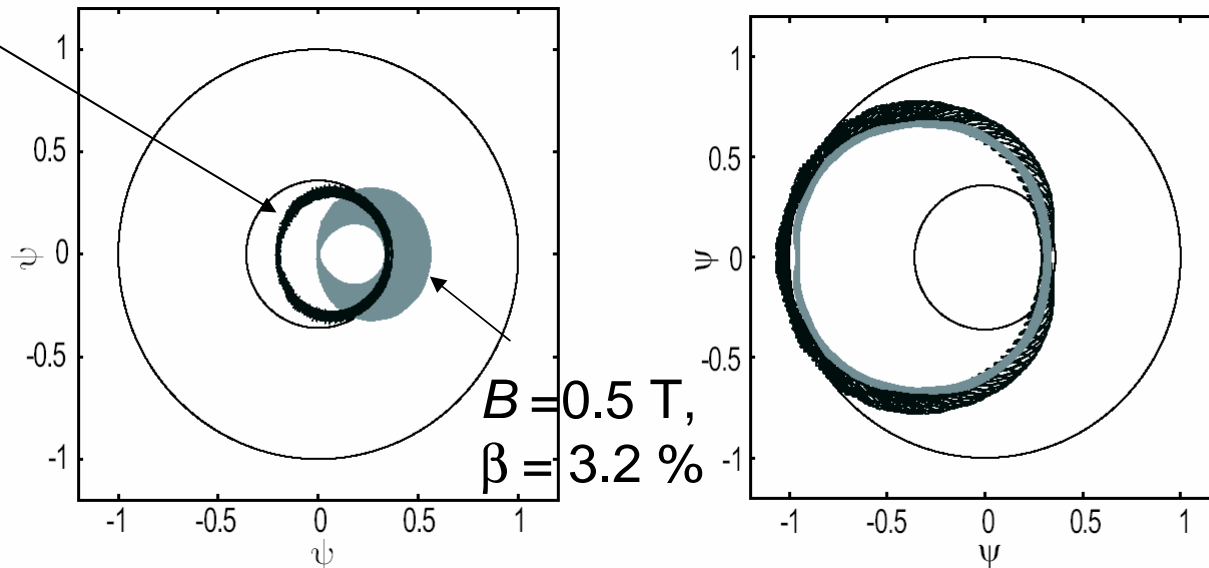


LCFS外側の周辺磁場領域に出ても再びLCFS内部に戻ってくる粒子



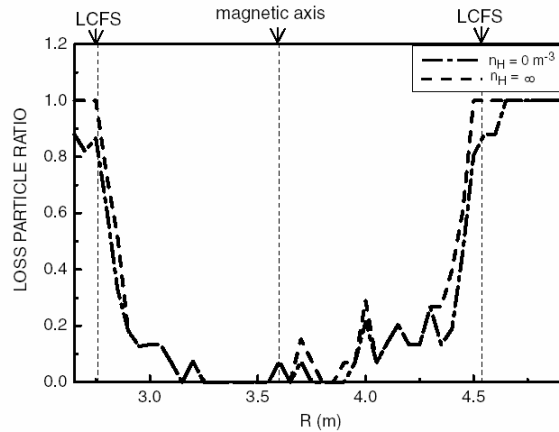
(a) passing particle ( $\chi_0 = 0.1\pi$ ) (b) banana orbit particle ( $\chi_0 = 0.55\pi$ )

$B = 3 \text{ T},$   
 $\beta = 3.2 \%$

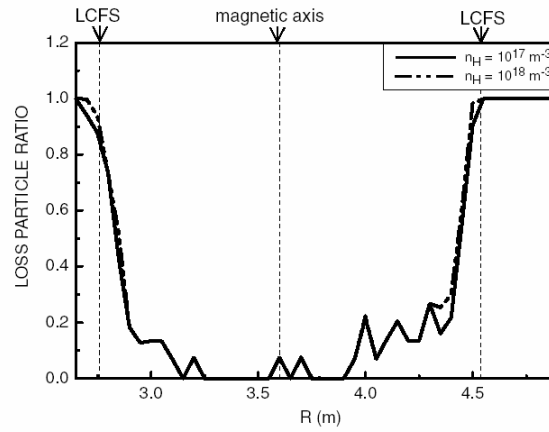




$B_0=3T, \langle \beta_{dia} \rangle = 0\%$

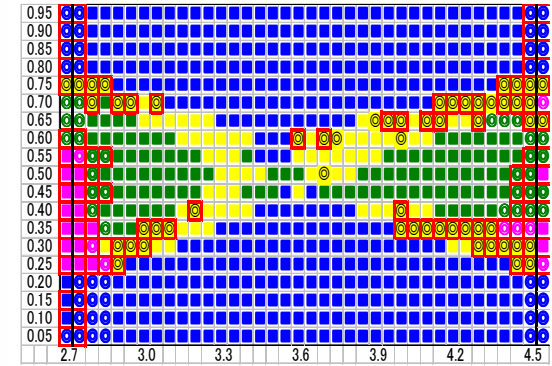


(a) magnetic field (i) ( $n = 0$  and  $\infty \text{ m}^{-3}$ )

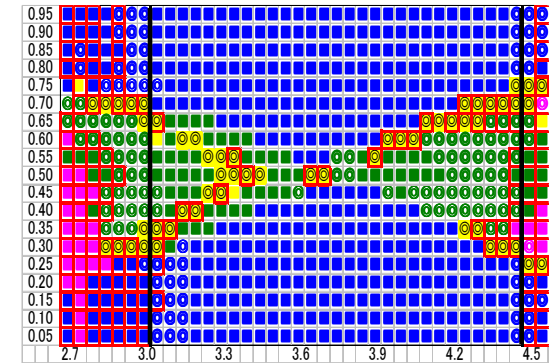
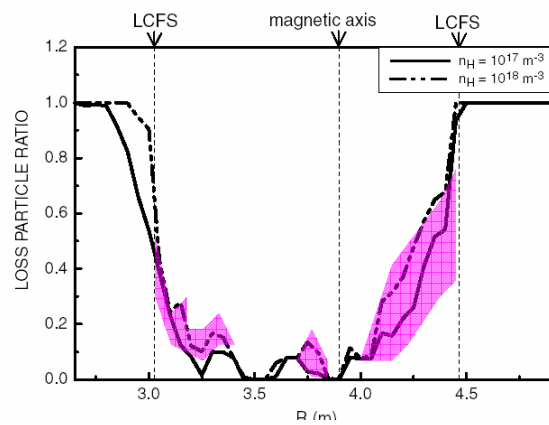
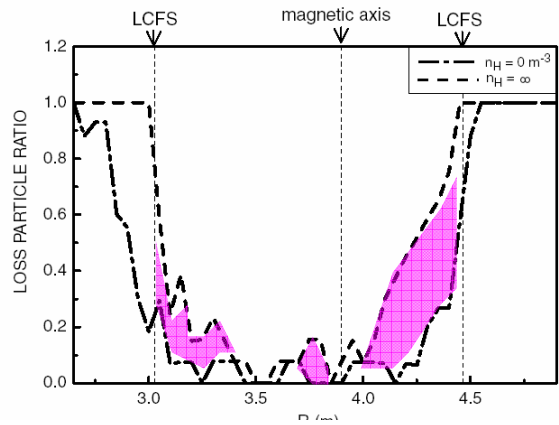


(b) magnetic field (i) ( $n = 10^{17}$  and  $10^{18} \text{ m}^{-3}$ )

■ 通過 ■ カオス □ 損失  
■ バナナ ■ 即損失



◎がRe-enteringした粒子



$B_0=3T, \langle \beta_{dia} \rangle \sim 3\%$

再突入効果  $0, \infty$

再突入効果

CXで考慮、 $n_H=10^{17}, 10^{18} \text{ m}^{-3}$

# 実空間軌道追跡モンテカルロコード(MORHコード)

R.Seki et al., PFR RC 2010 掲載予定

- 開発したコードでは

- 粒子の案内中心を実空間において追跡.
- 粒子の損失境界はLCFSではなく真空容器壁.
- 各モンテカルロ粒子は緩和もしくは損失するまで追跡.

- 分布関数は近似的に以下のように与えられる.

$$f(\mathbf{r}, \mathbf{v}) = \frac{1}{\Delta V(\mathbf{r}, \mathbf{v})} \sum_{i=1}^{N_{cal}} W_i \times \Delta t_i(\mathbf{r}, \mathbf{v})$$

$W_i$  : weight of a Monte-Carlo particle

$\Delta t_i$  : time that a Monte-Carlo particle spends in the small volume  $V(\mathbf{r}, \mathbf{v})$

$V(\mathbf{r}, \mathbf{v})$  : small volume in the phase space

- 得られた分布関数は以下のdrift-kinetic equationの定常解に相当する.

$$\frac{\partial f}{\partial t} + \mathbf{v}_d \cdot \nabla f = C(f) + S_{NB} - S_{sink} - S_{loss}$$

$\mathbf{v}_d$  : drift velocity     $C(f)$ : collision term  
 $S_{NB}$ : high-energy particle source  
 $S_{loss}$ : particle loss     $S_{sink}$ : thermalized particle sink

# 解析条件

## 磁場配位

磁場強度( $B_{ax}$ ) 1.0 T, 0.75 T, 0.5 T

平均ベータ ( $\langle\beta\rangle$ ) 2.7%

Background(hydrogen)

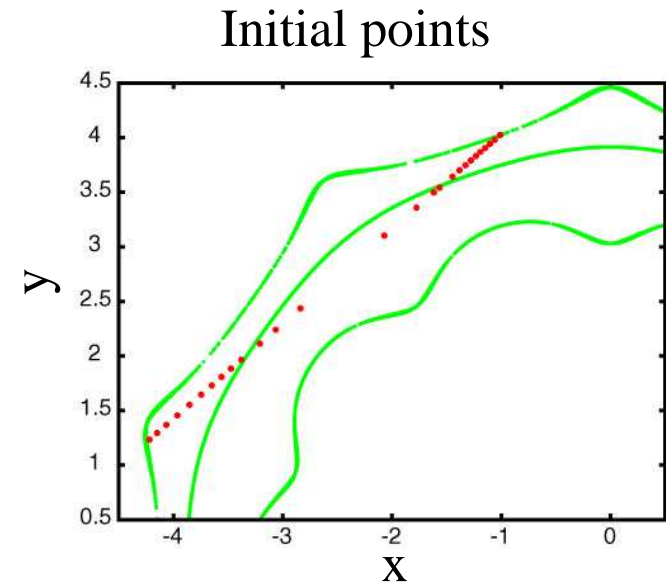
温度 ( $T_b$ ) 1 keV

密度 ( $n_b$ )  $10^{20} \text{ m}^{-3}$

Neutral Beams

入射パワー 1 MW

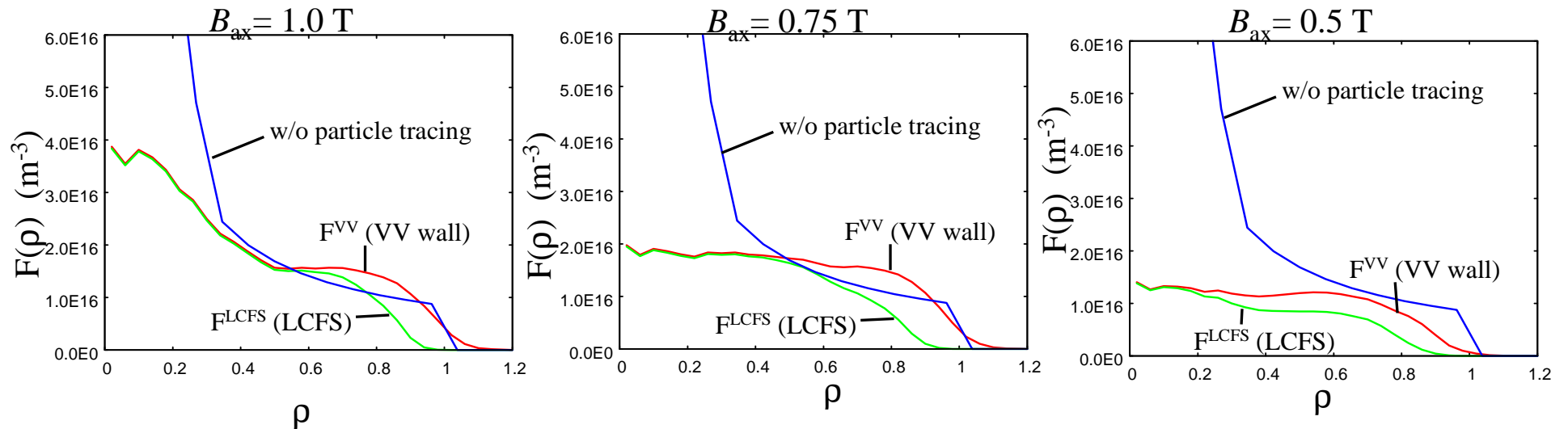
初期エネルギー ( $E_0$ ) 180 keV



- HINTより得られた平衡磁場を使用.
- 磁力線と反対方向の接線入射NBを解析
- 粒子の出発点は小半径 $\rho$ 方向に等間隔
- 粒子の初期速度の向きはビームの入射方向に設定.
- 各出発点において, 1000個のモンテカルロ粒子を追跡

# 小半径 $\rho$ に対する分布関数

$$F(\rho) \equiv \iint f(\rho, v, \chi) 2\pi v^2 \sin(\chi) dv d\chi = \frac{1}{\Delta V(\rho)} \sum_{i=1}^{N_{\text{cal}}} W_i \times \Delta t_i(\rho)$$



- 磁場強度によって、分布関数の形状が変化している。

- $B_{\text{ax}} = 1.0 \text{ T} \rightarrow B_{\text{ax}} = 0.7 \text{ T}$

プラズマ中心部では分布関数が減少し平らになる。

$\rho > 0.6$ ではほとんど変わらない。

- $B_{\text{ax}} = 0.7 \text{ T} \rightarrow B_{\text{ax}} = 0.5 \text{ T}$  全体的に、分布関数が減少。

- 磁場強度を下げることで、

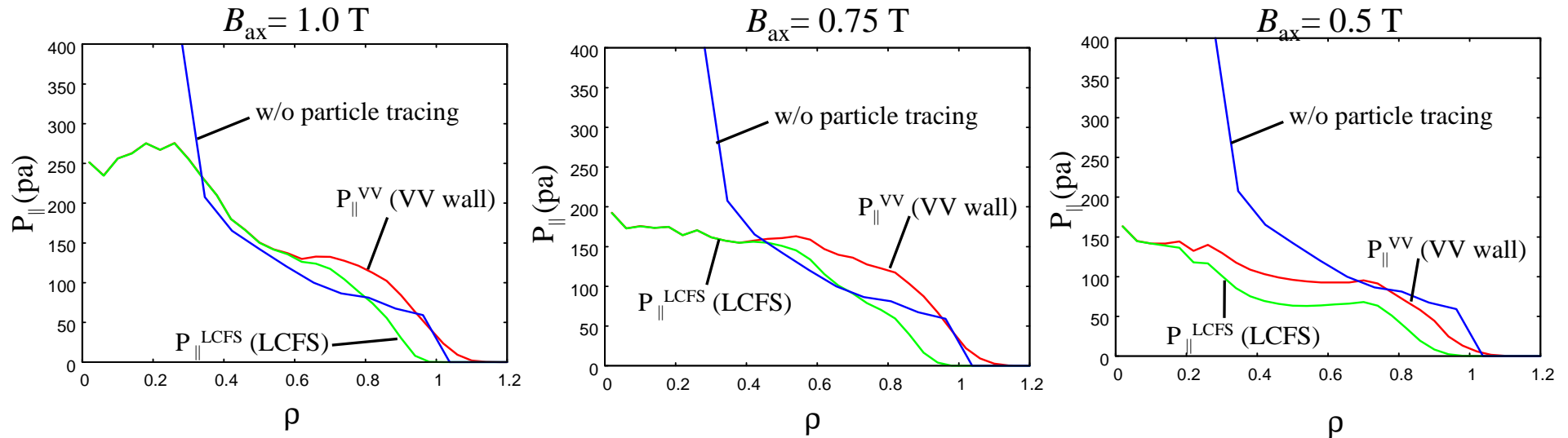
$F^{\text{VV}}(\rho)$ と $F^{\text{LCFS}}(\rho)$ との違いはよりプラズマ中心部まで広がる。

$\Rightarrow B_{\text{ax}} = 0.5 \text{ T}$ では、Re-entering粒子が $\rho = 0.2$ 付近まで存在



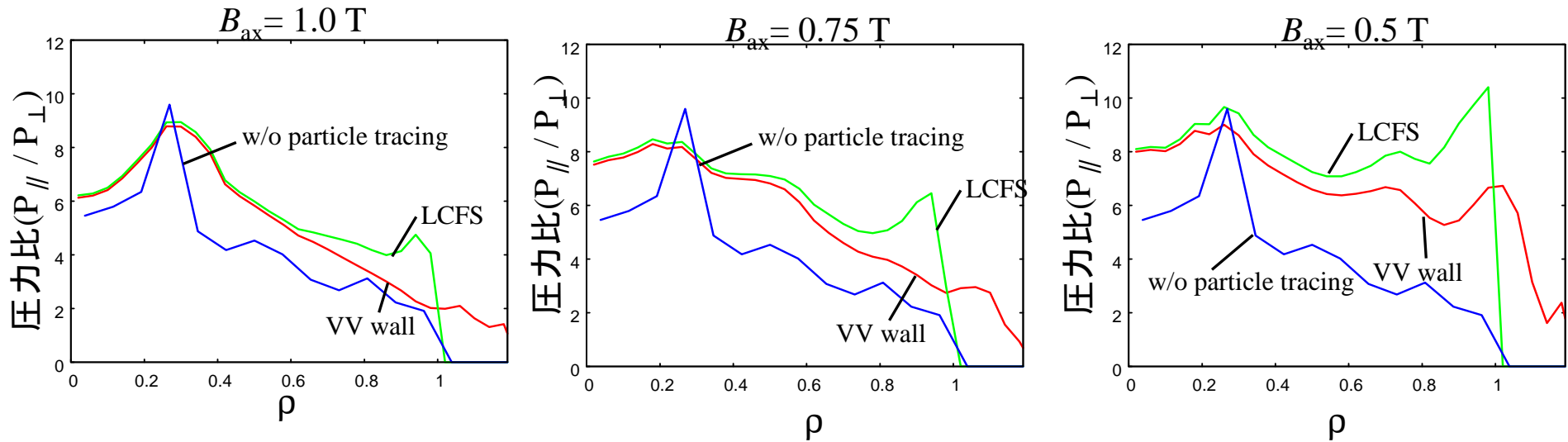
# NB pressure (parallel)

$$P_{\parallel}(\rho) \equiv 2 \iint \frac{1}{2} m v^2 \cos^2(\chi) f(\rho, v, \chi) 2\pi v^2 \sin(\chi) dv d\chi = \frac{2}{\Delta V(\rho)} \sum_{i=1}^{N_{\text{cal}}} \iint \frac{1}{2} m v^2 \cos^2(\chi) \times W_i \times \Delta t_i(\rho, v, \chi) dv d\chi$$



- 磁場強度によらず,  $P_{\parallel}$  の形状はほとんど  $F(\rho)$  と同じ形になる.
- Re-entering 粒子の影響は,  $F(\rho)$  と同様の傾向を持つ.
- 1 MW で評価した  $P_{\parallel}$  の大きさはプラズマ中心部で数 100 Pa

# ビーム圧力の比( $P_{\parallel} / P_{\perp}$ )



- 磁場強度の低下によって、ビーム圧力の比は増加
  - プラズマ内部でビーム圧力の比が一様に近づく
  - LCFSを損失境界とした場合
    - ・ LCFS近傍で圧力比がピーク.
    - ・ ビーム圧力の比が増加
- ⇒  $P_{\parallel}$  より  $P_{\perp}$  を過小評価

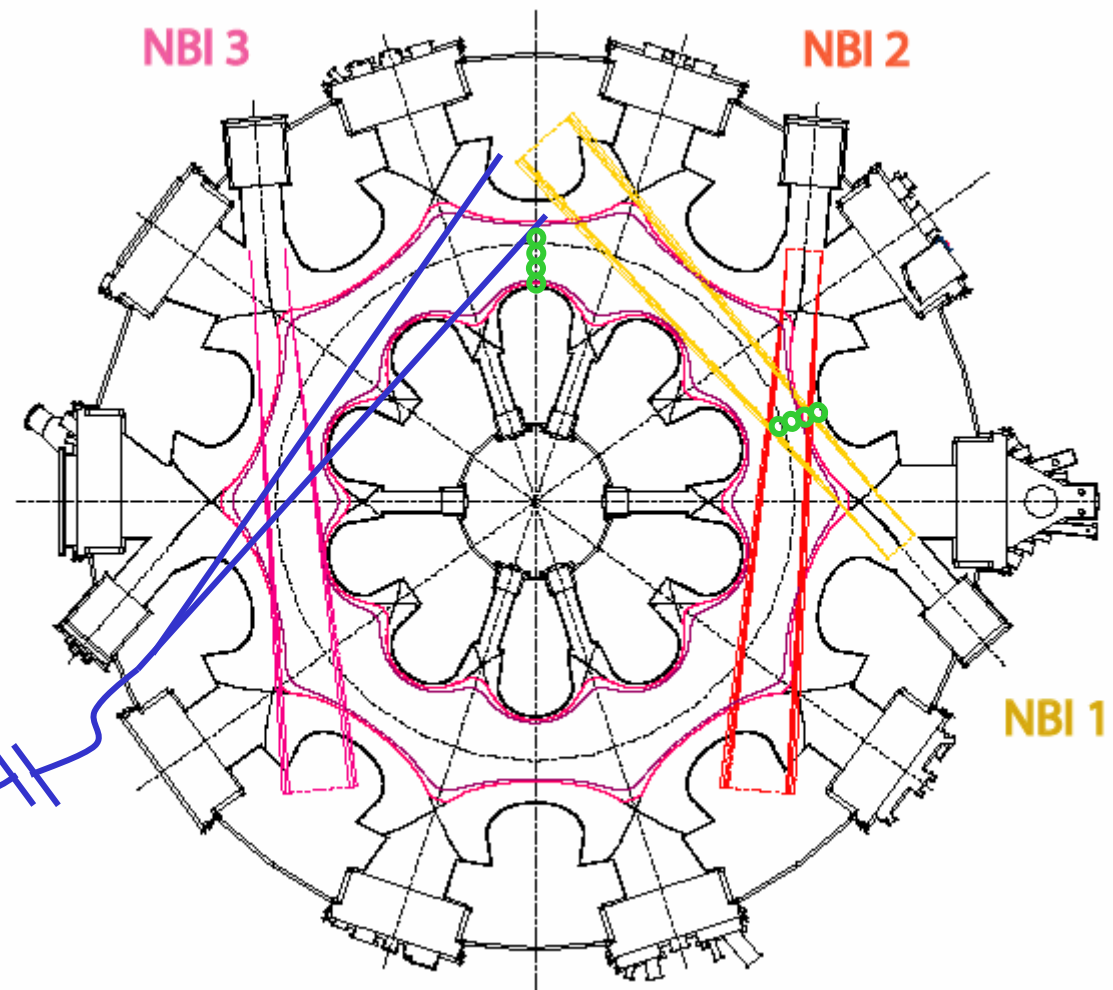
# MSE setup in LHD

*K.Ida*

The MSE view the plasma tangentially nearly parallel to magnetic field

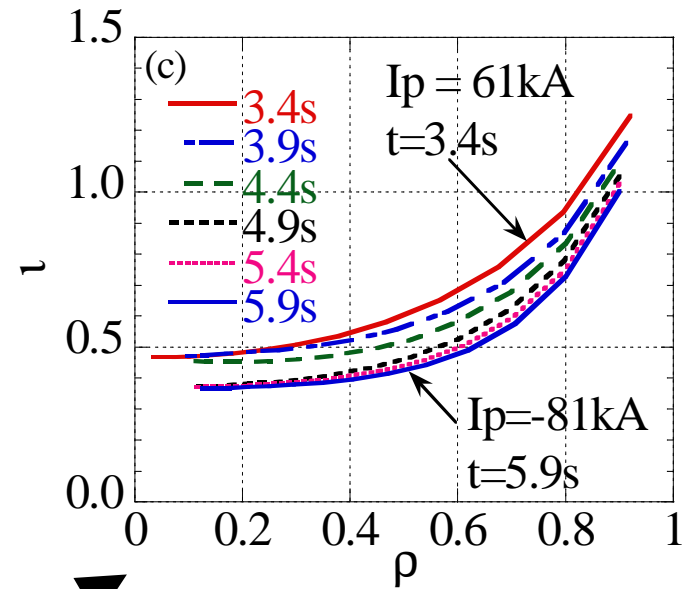
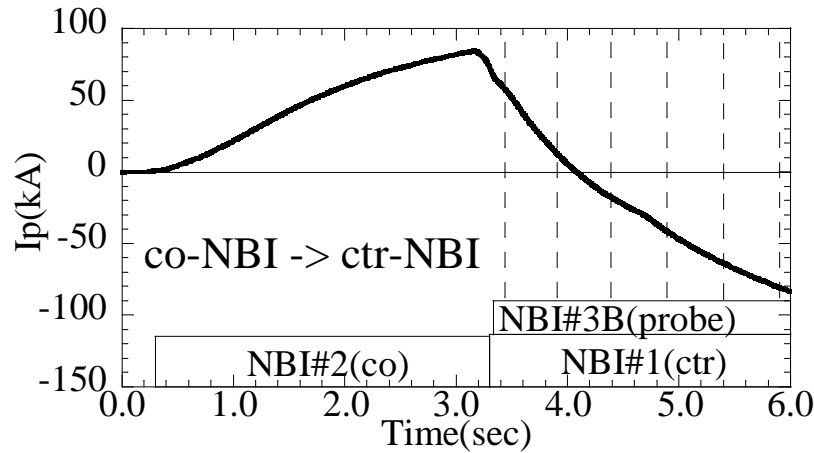
Diagnostic room  
spectrometer

MSE

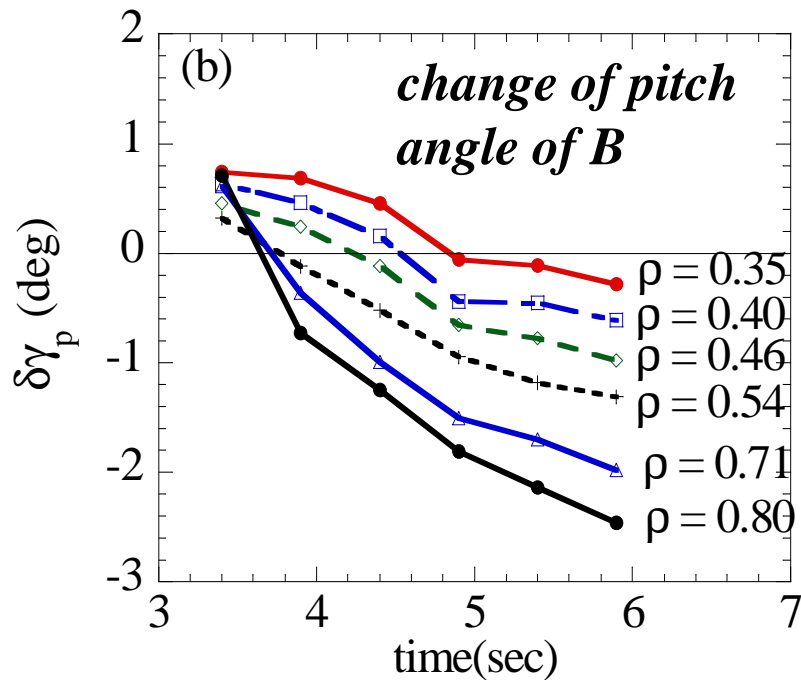


# Observation of $\iota$ profile change with MSE

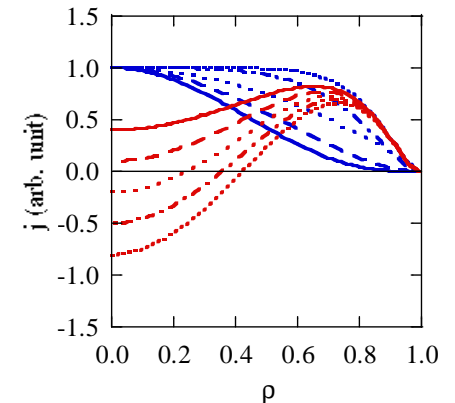
K.Ida



-30kA/T



Best fitting equilibrium is selected among the equilibria with various beta values and ten different current profiles



# TASK/EIにおける電流分布評価法について

基礎式(元は、[P. I. Strand et al., PoP, 8 (2001) 2782]と同じ表式)

$$\frac{\partial \iota}{\partial t} = \frac{1}{4\rho\Phi_{Ta}^2} \left[ \frac{\partial}{\partial \rho} \left\{ \eta_{\parallel} \frac{dV}{d\rho} \frac{\langle B^2 \rangle}{\rho^2} \frac{\partial}{\partial \rho} [\rho(S_{11}\iota + S_{12})] \right\} + \frac{\partial}{\partial \rho} \left\{ \eta_{\parallel} \frac{dV}{d\rho} \frac{1}{\rho} \frac{dp}{d\rho} (S_{11}\iota + S_{12}) - \eta_{\parallel} \frac{dV}{d\rho} \frac{1}{\rho} \langle \mathbf{J}_s \cdot \mathbf{B} \rangle \right\} \right],$$

$$S_{11} = \frac{V'}{4\pi^2} \left\langle \frac{g_{\theta\theta}}{g} \right\rangle, \quad \Phi_{Ta}, dV/d\rho(V'), g_{\theta\theta}, g_{\theta\zeta}, g, \lambda \text{ は平衡計算から求まる。}$$

Iの変化=>平衡の変化 => 平衡計算と交互に計算が必要。

$$S_{12} = \frac{V'}{4\pi^2} \left\langle \frac{g_{\theta\zeta}(1 + \partial_{\theta}\lambda) - g_{\theta\theta}\partial_{\zeta}\lambda}{g} \right\rangle,$$

$$\iota = \frac{I_T}{S_{11}\Phi_T'} - \frac{S_{12}}{S_{11}}. \quad \text{この関係を代入すると電流}I\text{に関する拡散型に類似する}$$

=> トカマクの場合、S12=0なので、純粋に拡散型と等価。

境界条件;  $I_{T\_Edge}$  = 計測値

■ **Diffusion equation of toroidal current**  $I_p(S, t)$

$$\mu_0 \frac{\partial I_p}{\partial t} = 4\pi S \frac{\partial}{\partial S} \left[ \frac{1}{\sigma} \frac{\partial}{\partial S} (I_p - I_b) \right], \quad J_p(S, t) = \frac{\partial}{\partial S} I_p, \quad S = \pi r^2$$

■ **Boundary condition**

$$I_p(0, t) = 0, \quad \frac{\partial}{\partial S} (I_p - I_b) \Big|_{S=\pi a^2} = \sigma \frac{1}{2\pi R_0} (V_{loop} - L_{ext} \dot{I}_p \Big|_{S=\pi a^2}). \quad L_{ext} = \mu_0 R_0 \left[ \log \frac{8R_0}{a} - 2 \right]$$

[J. Plasma and Fusion Res. Ser., 5巻, p.124-130, 2002年]でLHDに適用したモデル



# Expression of Currents

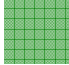
$$\langle B_{j\parallel} \rangle_{BS} = - \left[ L_{1e} \left[ \frac{dP_e}{d\psi} - en_e \frac{d\Phi}{d\psi} \right] + L_{1i} \left[ \frac{dP_i}{d\psi} + Z_i en_i \frac{d\Phi}{d\psi} \right] + L_{2e} n_e \frac{dT_e}{d\psi} + L_{2i} n_i \frac{dT_i}{d\psi} \right],$$

$$\langle B_{j\parallel} \rangle_{OHK} = \left[ 1 - \left( 1 + L_{1e} \right) \frac{Z_f}{Z_{eff}} \right] \langle B_{j\parallel} \rangle_{NBI},$$

$$\langle B_{j\parallel} \rangle_{OHM} = \sigma_{NC} \langle \mathbf{BE}^{(A)} \rangle, \quad \sigma_{NC} = \frac{e^2 n_e}{m_e v_e} \frac{\sqrt{2} + (13/4)Z_{eff} + \mu_{e3}}{D_e}, \quad \left( \sigma_{SP} = \frac{e^2 n_e}{m_e v_e} \frac{\sqrt{2} + (13/4)Z_{eff}}{Z_{eff} \left[ \sqrt{2} + (13/4)Z_{eff} \right] - \left[ (3/2)Z_{eff} \right]^2} \right)$$

 calculated in BSC part

 calculated in FIT part

 corresponding value is calculated in time evolution cal. part

$$L_{1e} = \frac{(\mu_{e3} - \bar{l}_{22}^{ee}) \langle \mu G_{bs} \rangle_{e1} - (\mu_{e2} - \bar{l}_{12}^{ee}) \langle \mu G_{bs} \rangle_{e2}}{D_e} \quad (2)$$

$$L_{1i} = \frac{\mu_{e1}(\mu_{e3} - \bar{l}_{22}^{ee}) - \mu_{e2}(\mu_{e2} - \bar{l}_{12}^{ee})}{D_i} F_g \quad (3)$$

$$F_g = \frac{(\mu_{i3} - \bar{l}_{22}^{ii}) \langle \mu G_{bs} \rangle_{i1} - \mu_{i2} \langle \mu G_{bs} \rangle_{i2}}{D_e} \quad (4)$$

$$L_{2e} = \frac{-(\mu_{e3} - \bar{l}_{22}^{ee}) \langle \mu G_{bs} \rangle_{e2} + (\mu_{e2} - \bar{l}_{12}^{ee}) \langle \mu G_{bs} \rangle_{e3}}{D_e} \quad (5)$$

$$L_{2i} = \frac{\mu_{e1}(\mu_{e3} - \bar{l}_{22}^{ee}) - \mu_{e2}(\mu_{e2} - \bar{l}_{12}^{ee})}{D_i} G_g \quad (6)$$

$$G_g = \frac{-(\mu_{i3} - \bar{l}_{22}^{ii}) \langle \mu G_{bs} \rangle_{i2} + \mu_{i2} \langle \mu G_{bs} \rangle_{i3}}{D_i} \quad (7)$$

$$D_e = (\mu_{e1} - \bar{l}_{11}^{ee})(\mu_{e3} - \bar{l}_{22}^{ee}) - (\mu_{e2} - \bar{l}_{12}^{ee})^2 \quad (8)$$

$$D_i = \mu_{i1}(\mu_{i3} - \bar{l}_{22}^{ii}) - \mu_{i2}^2 \quad (9)$$

$$\mu_{a1} = K_{11}^a, \quad \mu_{a2} = -K_{12}^a + \frac{5}{2} K_{11}^a, \quad \mu_{a3} = K_{22}^a - 5K_{12}^a + \frac{25}{4} K_{11}^a \quad (10)$$

ref K.Y.WATANABE et al,

Nuclear Fusion 35 (1995) 335.

$$\langle \mu G_{bs} \rangle_{a1} = \bar{K}_{11}^a, \quad \langle \mu G_{bs} \rangle_{a2} = -\bar{K}_{12}^a + \frac{5}{2} \bar{K}_{11}^a,$$

$$\langle \mu G_{bs} \rangle_{a3} = \bar{K}_{22}^a - 5\bar{K}_{12}^a + \frac{25}{4} \bar{K}_{11}^a \quad (11)$$

$$K_{ij}^a \equiv \frac{8}{3\sqrt{\pi}} \frac{f_i}{f_c} \int_0^\infty \exp(-x_a^2) x_a^{2(i+j)} [[\nu_{tot}^a(x_a)/\nu_a]] dx_a \quad (12)$$

$$\bar{K}_{ij}^a \equiv \frac{8}{3\sqrt{\pi}} \frac{f_i}{f_c} \int_0^\infty \exp(-x_a^2) x_a^{2(i+j)} [[G_{bs} \nu_{tot}^a(x_a)/\nu_a]] dx_a \quad (13)$$

$$x_a = \frac{v}{v_{ta}} \quad (14)$$

where

$$[[\nu_{tot}^a(x_a)/\nu_a]] \equiv \frac{\bar{\nu}_D^a(x_a)}{\left( 1 + \bar{\nu}_a^* \frac{\bar{\nu}_D^a}{x_a} \right) \left( 1 + \frac{5\pi}{8} \frac{\bar{\nu}_T^a}{x_a} \frac{1}{\omega_{ta}} \right)} \quad (15)$$

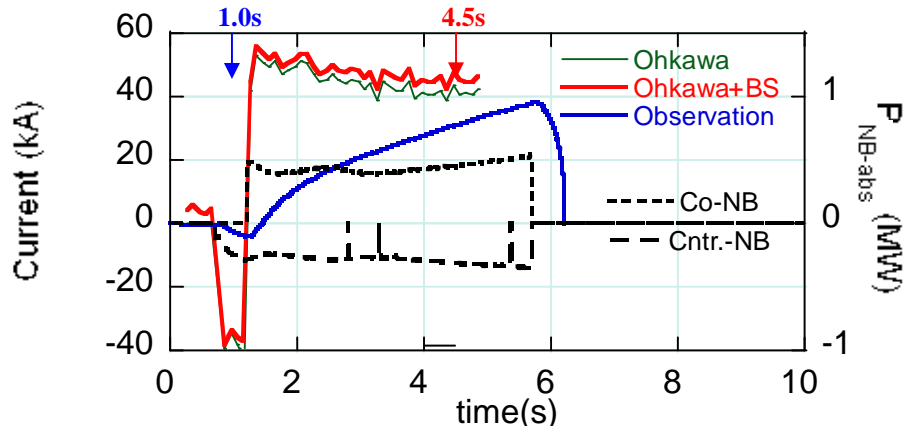
$$[[G_{bs} \nu_{tot}^a(x_a)/\nu_a]] \equiv \frac{\bar{\nu}_D^a(x_a)}{\left( 1 + \bar{\nu}_a^* \frac{\bar{\nu}_D^a}{x_a} \right)^2 \left( 1 + \frac{5\pi}{8} \frac{\bar{\nu}_T^a}{x_a} \frac{1}{\omega_{ta}} \right)^2}$$

$$\times \left\{ \langle G_{bs} \rangle_a^{1/\nu} + \left( \bar{\nu}_a^* \frac{\bar{\nu}_D^a}{x_a} + \frac{5\pi}{8} \frac{\bar{\nu}_T^a}{x_a} \frac{1}{\omega_{ta}} \right) \langle G_{bs} \rangle_a^{p1} + \frac{5\pi}{8} \frac{\bar{\nu}_a^*}{x_a} \frac{\bar{\nu}_D^a}{x_a} \frac{\bar{\nu}_T^a}{x_a} \frac{1}{\omega_{ta}} \langle G_{bs} \rangle_a^{p-s} \right\} \quad (16)$$

$$\bar{\nu}_D^a = \nu_D^a(x_a)/\nu_a, \quad \bar{\nu}_T^a = \nu_T^a(x_a)/\nu_a \quad (17)$$

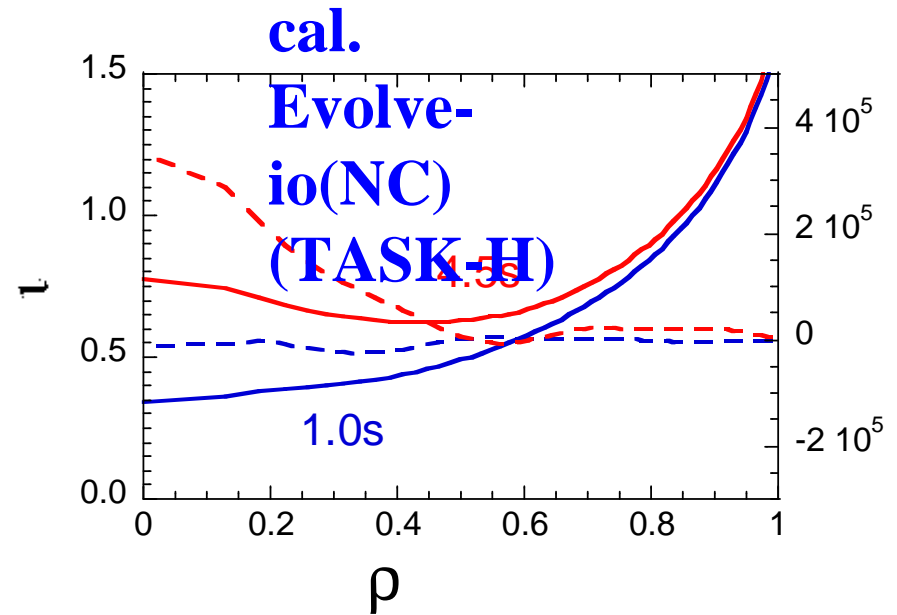
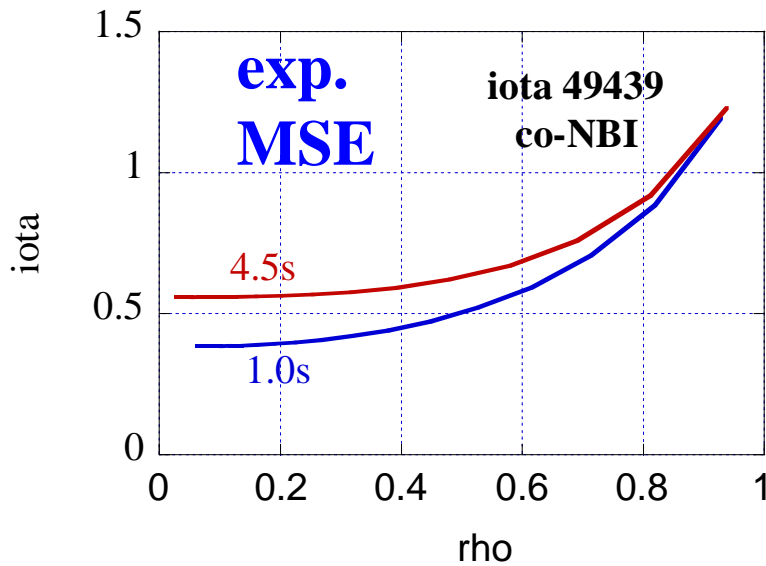
$$\bar{l}_{11}^{ee} = -Z, \quad \bar{l}_{12}^{ee} = -\frac{3}{2}Z, \quad \bar{l}_{22}^{ee} = -(\sqrt{2} + \frac{13}{4}Z), \quad \bar{l}_{22}^{ii} = -\sqrt{2}.$$

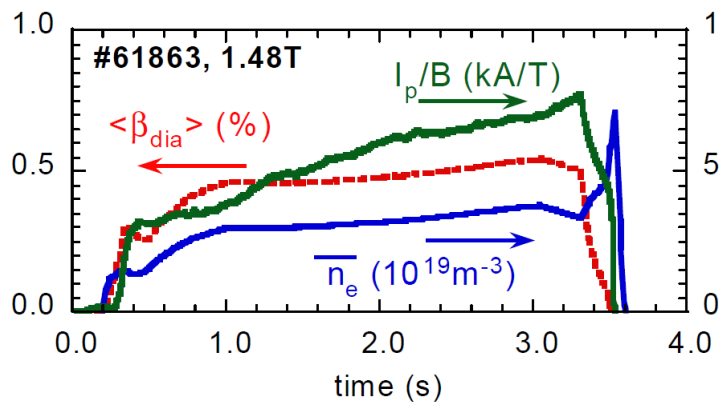
# 回転変換分布の時間変化



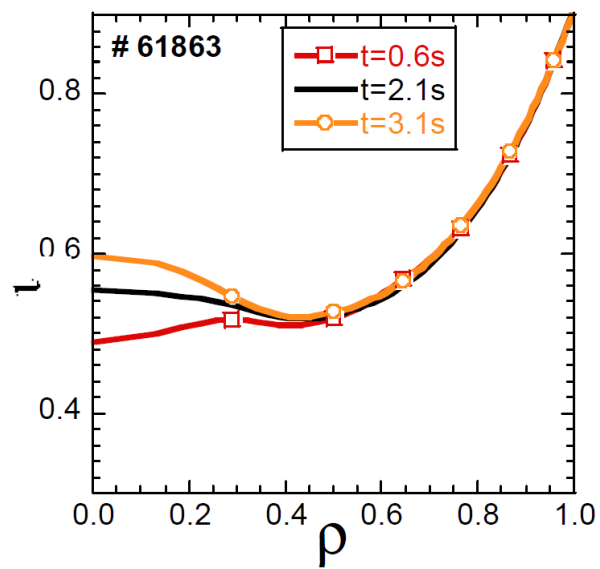
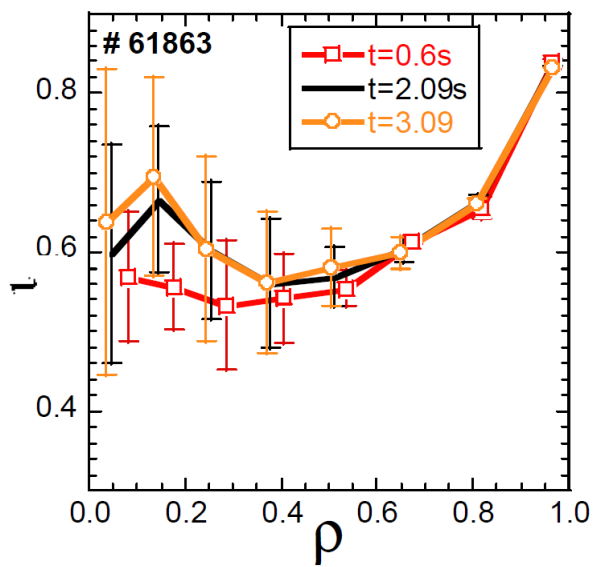
## 回転変換の時間発展方程式

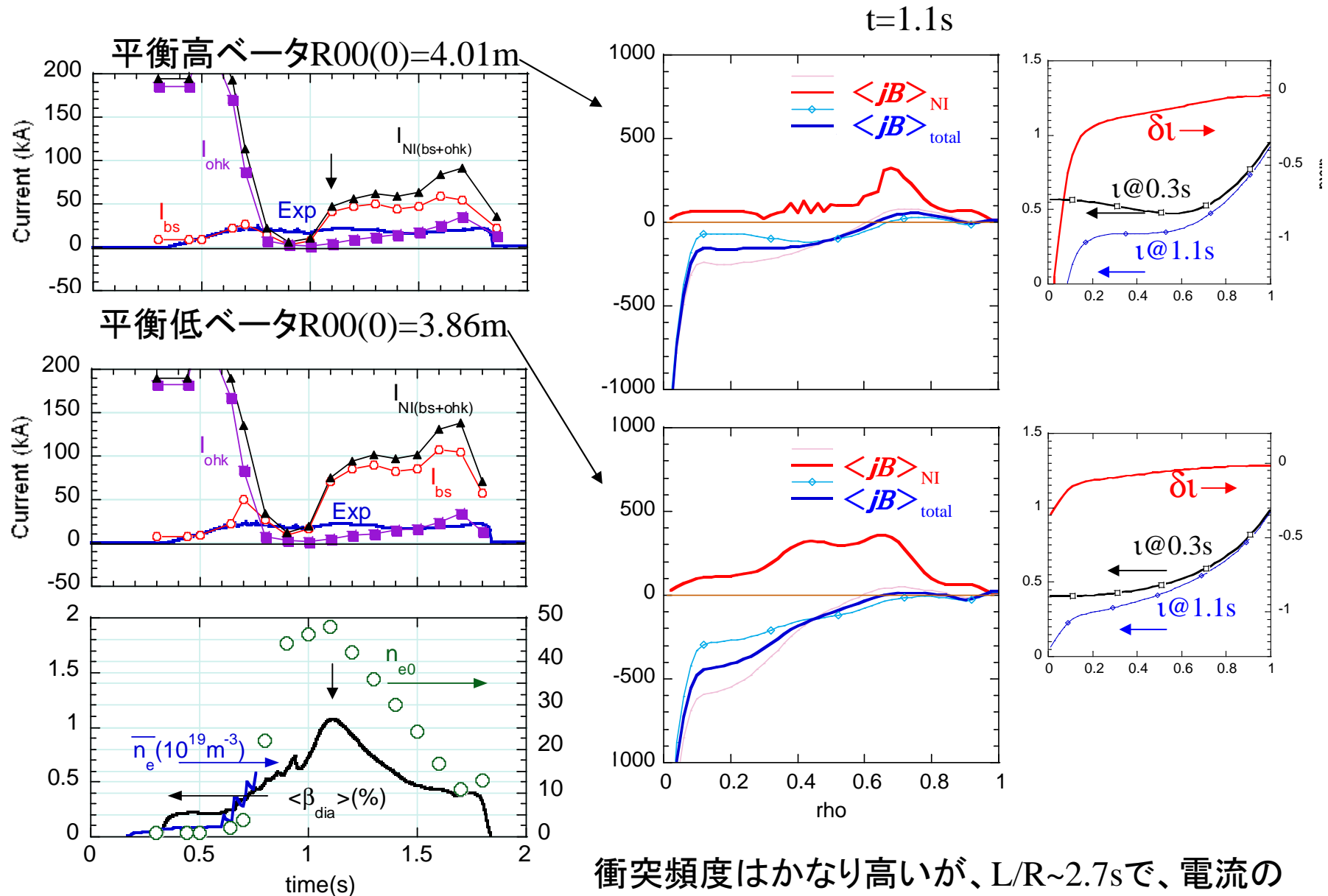
$$\frac{\partial \iota}{\partial t} = \frac{1}{4\rho\Phi_{Ta}^2} \left[ \frac{\partial}{\partial \rho} \left\{ \eta_{\parallel} \frac{dV}{d\rho} \frac{\langle B^2 \rangle}{\rho^2} \frac{\partial}{\partial \rho} [\rho(S_{11}\iota + S_{12})] \right\} + \frac{\partial}{\partial \rho} \left\{ \eta_{\parallel} \frac{dV}{d\rho} \frac{1}{\rho} \frac{dp}{d\rho} (S_{11}\iota + S_{12}) - \eta_{\parallel} \frac{dV}{d\rho} \frac{1}{\rho} \langle J_s \cdot B \rangle \right\} \right]$$





*<10kA/T*





$T_e=0.7keV, n_e=1e20m^{-3}@p=2/3 \Rightarrow L/R \sim 2.7s$

衝突頻度はかなり高いが、 $L/R \sim 2.7s$ で、電流の予測値は非誘導電流分布とかなり異なる

# まとめ

---

## 1. 実効的な磁気面の存在の検証

実効的な磁気面の有無の検証手法の確立が重要  
動的輸送特性が有力候補

## 2. LHDにおけるMHD平衡同定に関する課題

(1) ビーム圧力の影響

(2) トロイダル電流の影響

(3) 最外殻磁気面の同定

それぞれ進展はあるが、いずれも道半ば。重点的な研究が必要